



# Le linee guida e l'imaging neuro-radiologico nello stroke

Enrico Fainardi

*Struttura Organizzativa Dipartimentale di Neuroradiologia  
Dipartimento di Scienze Biomediche, Sperimentali e Cliniche “Mario Serio”  
Università degli Studi di Firenze  
Ospedale Universitario Careggi  
Firenze*





# Le attuali linee guida

Italian Stroke Association - Associazione Italiana Ictus

## Linee guida attuali

**Gruppo "Fase acuta"**

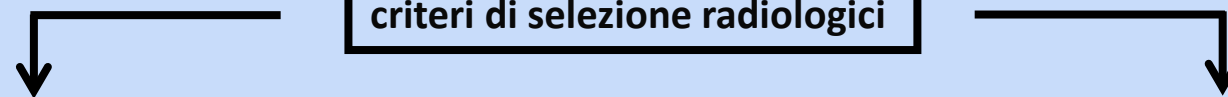
**Terapie di rivascolarizzazione**

Chairman:

- Danilo Toni

Componenti:

- Manuel Cappellari
- Valeria Caso
- Francesco Causin
- Paolo Cerrato
- Alfonso Ciccone
- Enrico Fainardi
- Antonio Pitrone
- Stefano Vallone
- Andrea Zini

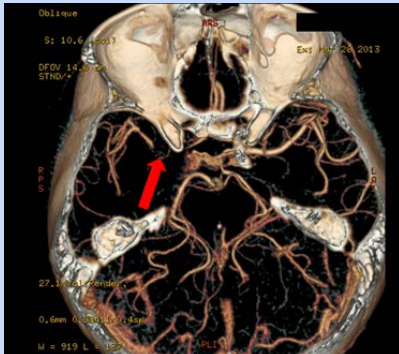


**finestra precoce**

**finestra tardiva**



# Finestra terapeutica precoce e tardiva



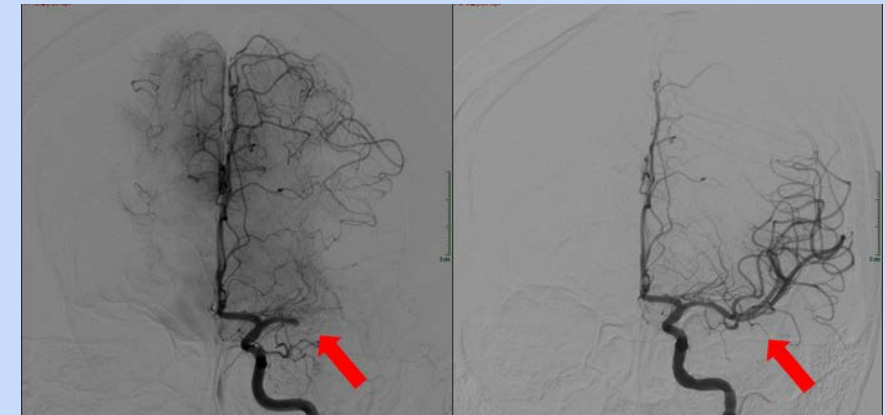
trombolisi endovenosa



- **finestra precoce** = esordio  $\leq$  4.5 ore  
selezione: TC standard senza mdc (NCCT)

- **finestra tardiva** = esordio a 4.5-9 ore o  
non databile (al risveglio o indeterminato)  
selezione: tecniche avanzate

➤ con o senza occlusione di un grosso vaso



trattamento endovascolare



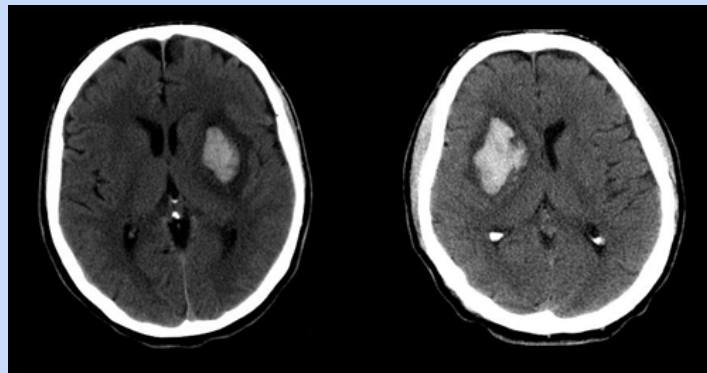
- **finestra precoce** = esordio  $\leq$  6 ore  
selezione: NCCT + Angio-TC (CTA)

- **finestra tardiva** = esordio a 6-24 ore o  
non databile (al risveglio o indeterminato)  
selezione: tecniche avanzate + CTA

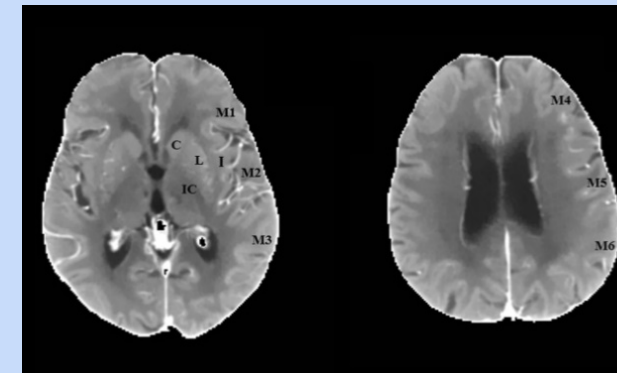
➤ con occlusione di un grosso vaso



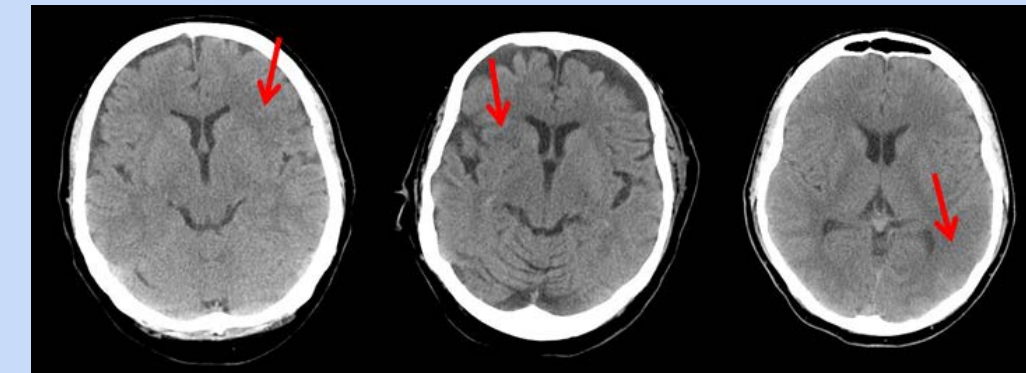
# Ruolo della TC standard



ematoma intraparenchimale



ASPECTS



ipodensità focale  
perdita disegno  
corticale insulare

oscuramento  
nucleo lenticolare

ipodensità focale  
perdita  
differenziazione  
bianca/grigia

Barber PA et al. Lancet 2000; 355; 1670-1674;; Muir KW et al. Lancet Neurol 2006; 5: 755-758; Merino JG, Warach S. Nat Rev Neurol 2010; 6; 560-571

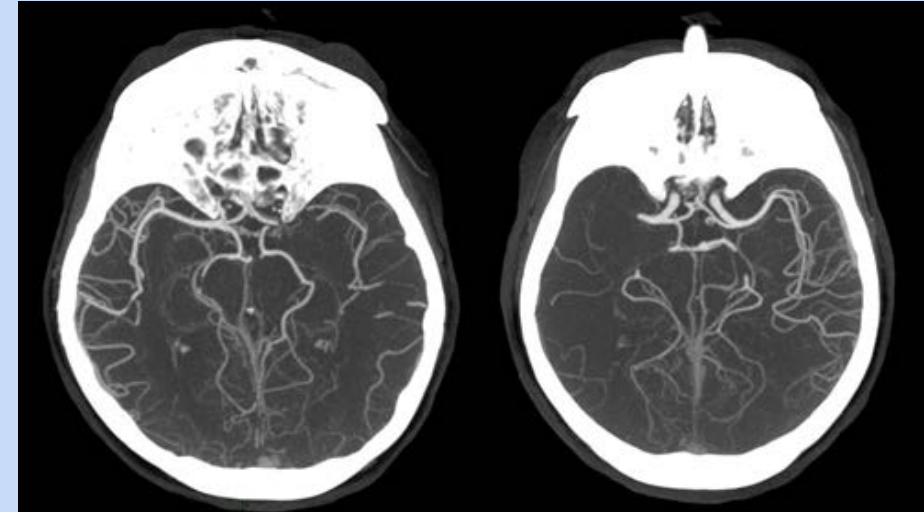
- riconoscere le patologie che all'esordio mimano clinicamente l'ictus ischemico acuto (ematomi, tumori)
- identificare i segni precoci di infarto = presenza di ipodensità focali che corrispondono al core infartuale e la cui estensione viene calcolata mediante il punteggio semiquantitativo ASPECTS (Alberta Stroke Program Early CT Score):
  - finestra precoce (trombolisi endovenosa) = ASPECTS > 7
  - finestra precoce (trattamento endovascolare) = ASPECTS  $\geq 6$



# Compito della CTA



Mortimer AM et al. Stroke 2013; 44 :1480-1488;  
Leiva-Salinas C et al. Neuroimaging Clin N Am 2018; 28: 565-572



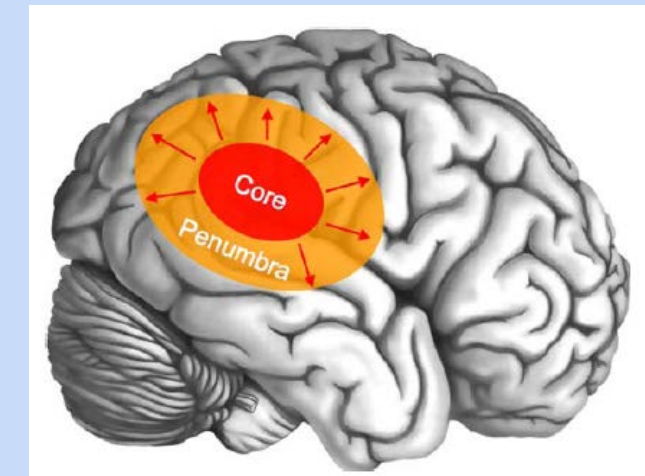
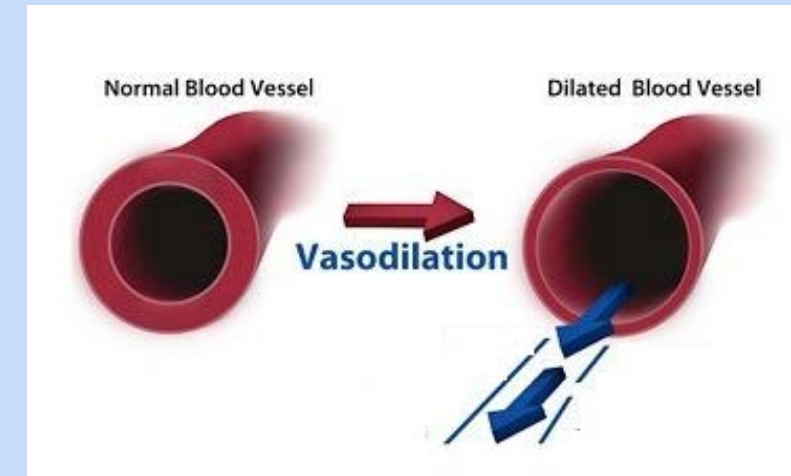
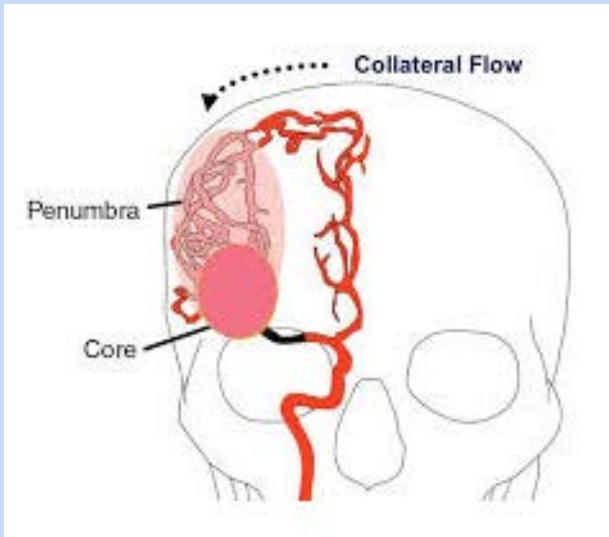
buona circolazione  
collaterale  
(prognosi favorevole)

scarsa circolazione  
collaterale  
(prognosi sfavorevole)

- identificare la sede e l'estensione dell'occlusione vasale
- valutare l'efficienza dei circoli collaterali



# La CTA nelle nuove linee guida



Mortimer AM et al. Stroke 2013; 44 :1480-1488;  
Leiva-Salinas C et al. Neuroimaging Clin N Am 2018; 28: 565-572

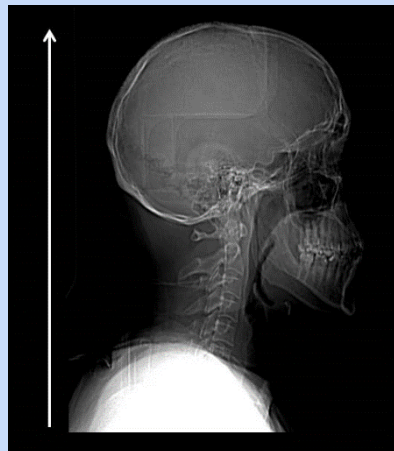
- l'apertura dei circoli collaterali leptomeningei è il principale meccanismo di compenso che mantiene vitale la penombra ischemica attraverso una massiccia vasodilatazione
- l'estensione dei circoli collaterali è associata alla prognosi perché buoni circoli collaterali = outcome favorevole



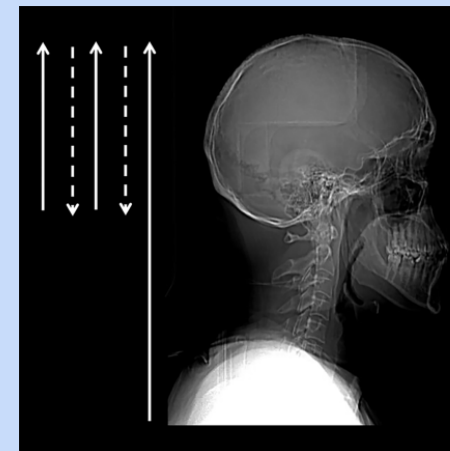
nelle linee guida l'utilizzo della CTA per la valutazione ei circoli collaterali è fortemente raccomandata nei pazienti candidati al trattamento endovascolare



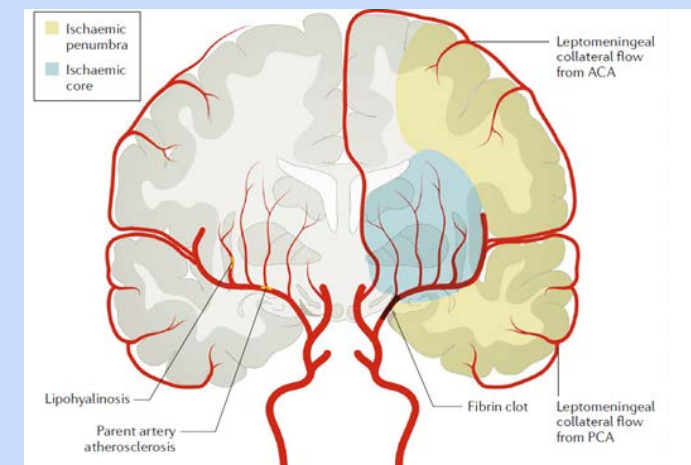
# CTA monofasica (sCTA) o multifasica (mCTA)



sCTA (1 fase)

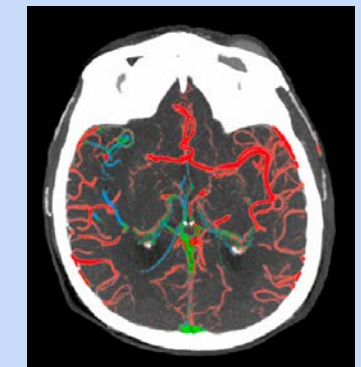
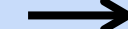
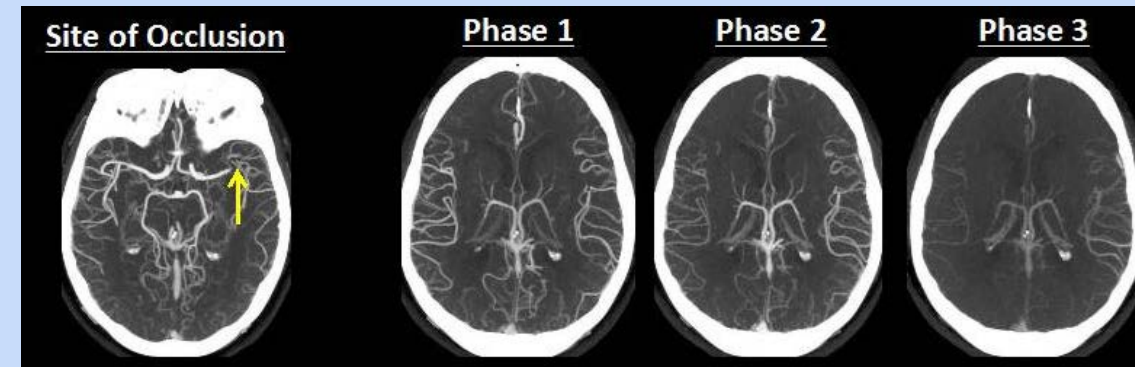
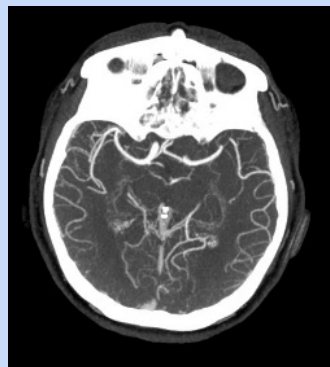


mCTA (3 fasi)



Menon BK et al. Radiology 2015; 275: 510-520

Dundamadappa,S et al. AJNR Am J Neuroradiol; 2021; 42: 221-227

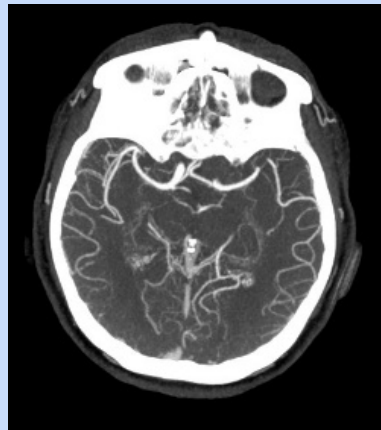


la mCTA è la tecnica migliore per l'analisi dei circoli collaterali perché valuta non solo la fase precoce arteriosa come la sCTA ma anche le fasi tardive (artero-venosa e venosa) dell'iniezione dei vasi



# Classificazione: circoli collaterali buoni con sCTA e mCTA

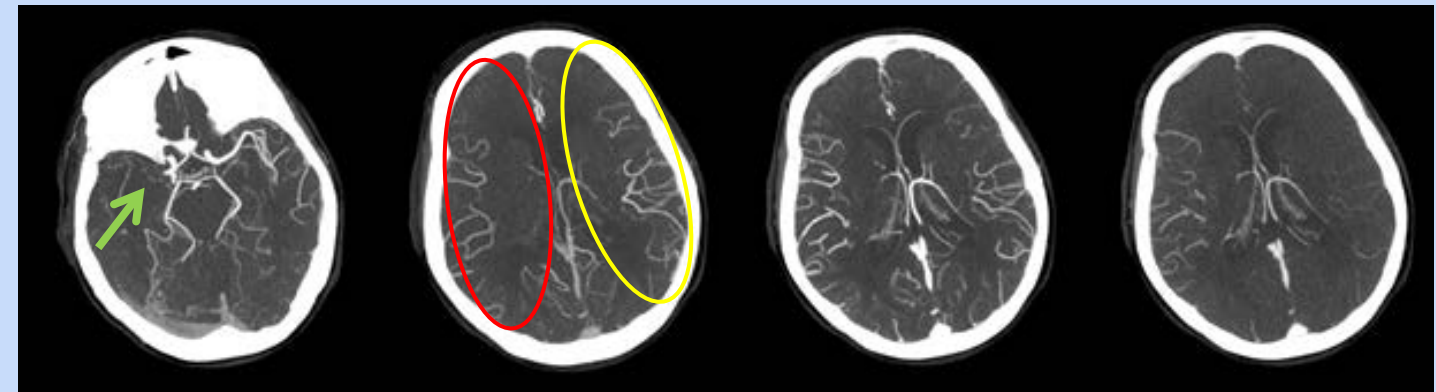
sCTA



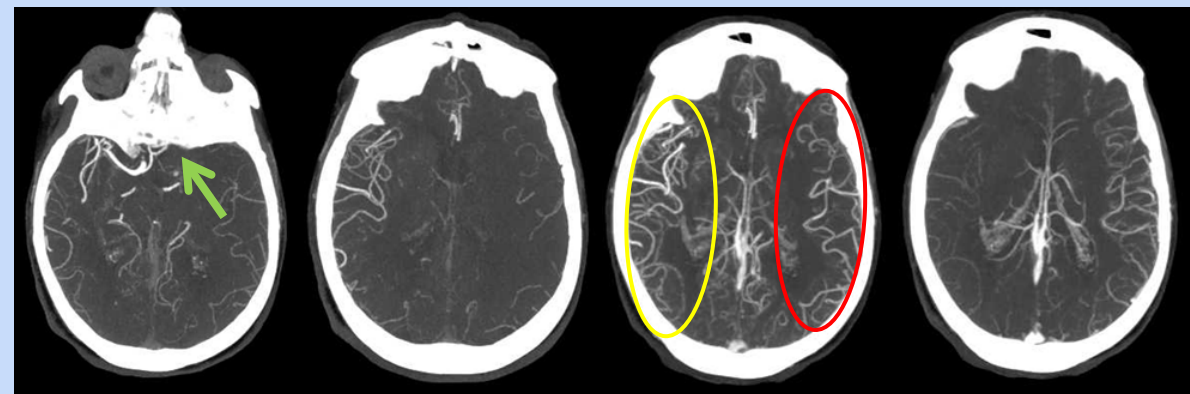
riempimento > 50%  
del territorio occluso

Tan IYL et al. AJNR Am J Neuroradiol; 30: 525-531

mCTA



nessun ritardo (grado = 5)



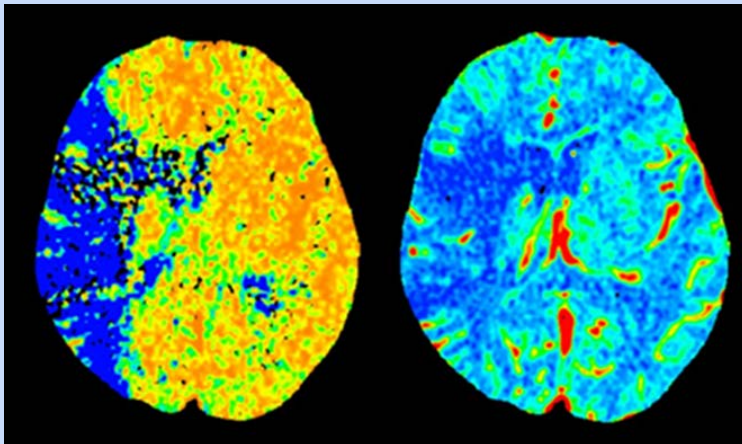
una fase di ritardo con uguale estensione del riempimento dei vasi (grado = 4)

*al massimo una fase di ritardo con uguale estensione del riempimento dei vasi*

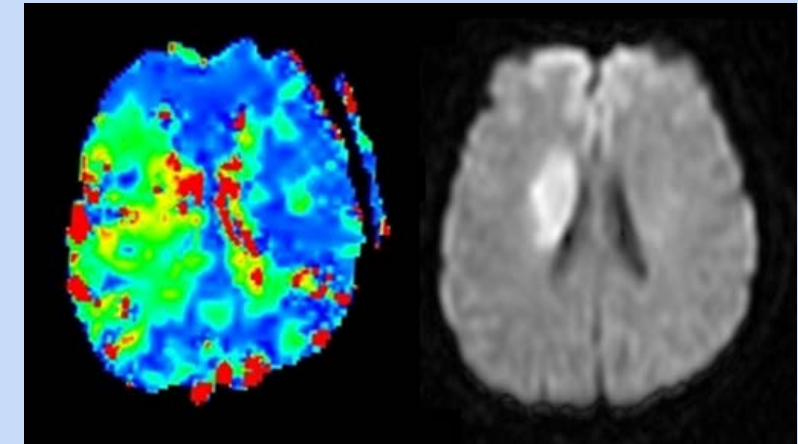
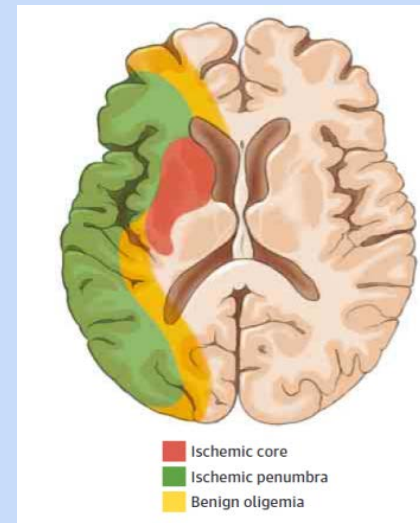
Menon BK et al. Radiology 2015; 275: 510-520



# Scopo delle tecniche avanzate



CT perfusion (CTP)



Perfusion Weighted-  
Imaging (PWI)

Diffusion Weighted-  
Imaging (DWI)

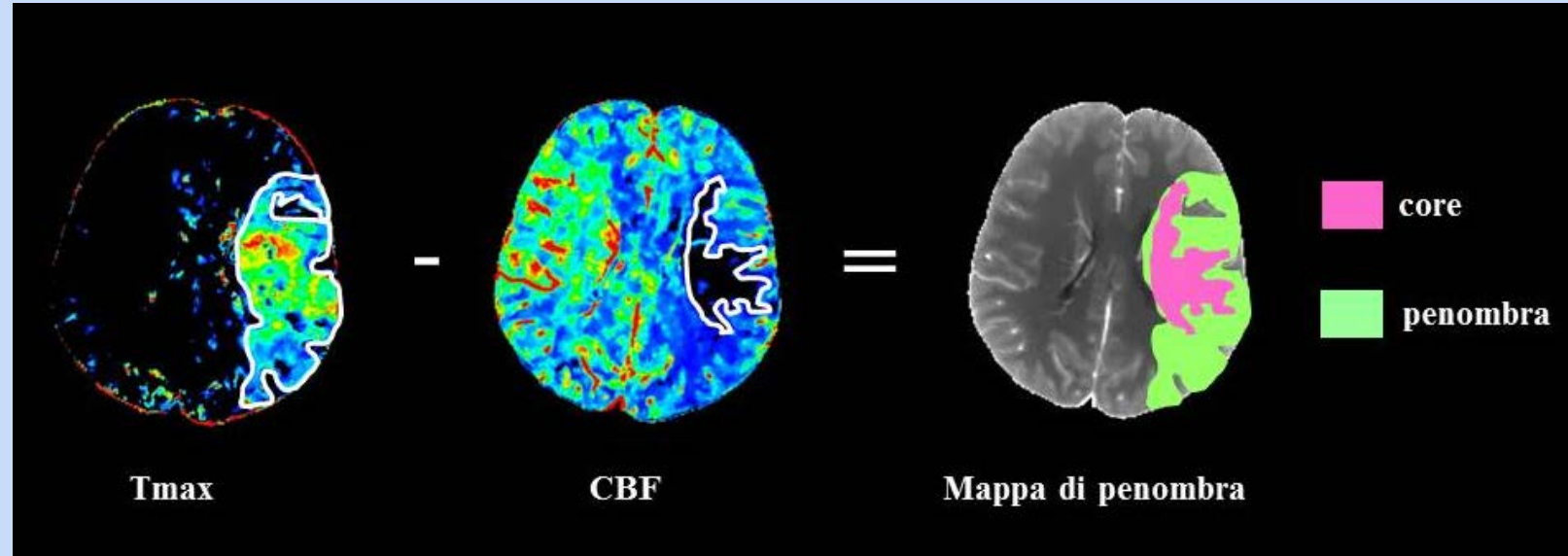
Leiva-Salinas C et al. Neuroimaging Clin N Am 2018; 28: 565-572; Campbell BCV, Parsons MV. Int J Stroke 2018; 13: 554-567;  
Leslie-Mazwi TM et al. Neuroimaging Clin N Am. 2018; 28: 573-584; Vagal A et al. Neurology 2019; 93: 888-898;  
Demeestere et al. Stroke 2020; 51: 1017-1024; Campbell BCV, Khatri P. Lancet 2020; 396: 129-142



identificare core infartuale e penombra ischemica nella finestra tardiva



# Mismatch CTP Tmax - CBF



Campbell BCV et al. Stroke 2011; 42: 3435-3430; Bivard A et al. Brain 2011; 134: 3408-3416;  
Campbell BCV et al. Stroke 2012; 43: 2648-2653; Bivard A et al. Radiology 2013; 267:543-550; Lin L et al. Radiology 2016; 279: 876-887

- ipoperfusione totale (core + penombra) = estensione della lesione nella mappa di tempo al picco massimo della curva di funzione residua (Tmax)

valori soglia:

- core infartuale = dimensioni della lesione nella mappa di flusso ematico cerebrale (CBF)

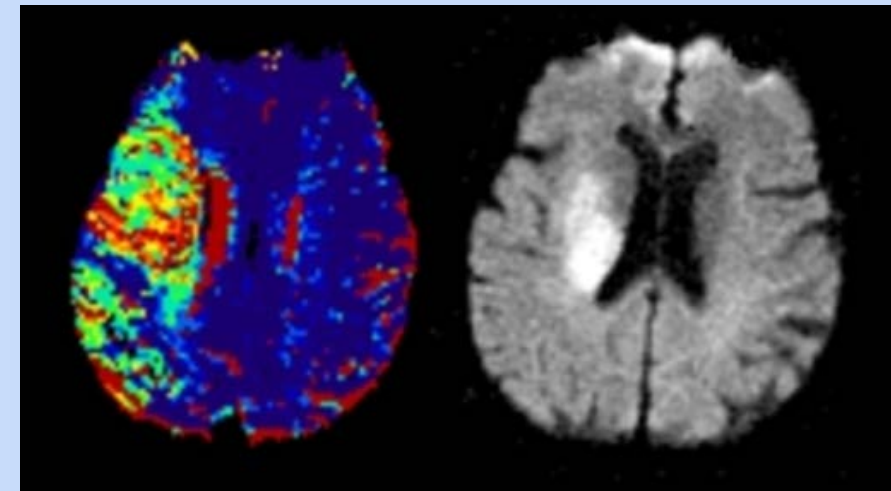
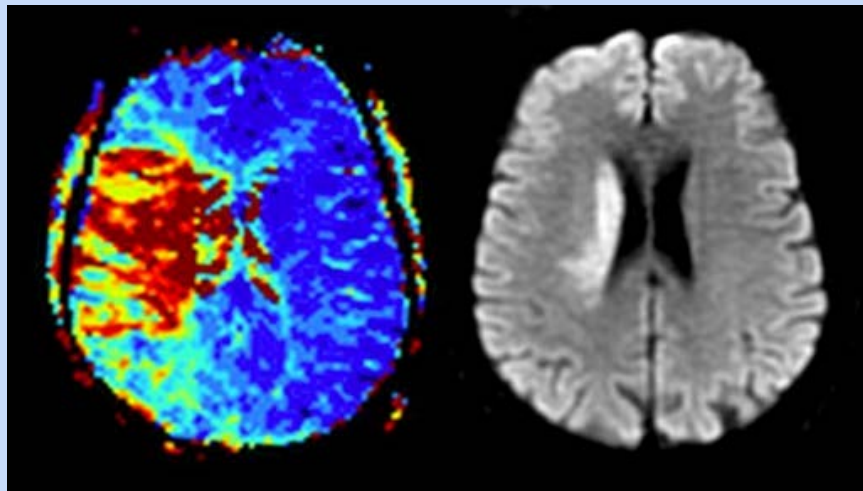


- ipoperfusione totale =  $T_{max} > 6$  sec
- core infartuale = CBF relativo (rCBF) < 30% rispetto al lato controlaterale sano

- penombra ischemica = volume lesione Tmax - volume lesione CBF



# Mismatch MR PWI - DWI



Köhrmann M, Schellinger PD. Radiology 2009; 251: 627-633; Davis S, Donnan GA . Cerebrovasc Dis 2014; 38: 59-72

- ipoperfusione totale (core + penombra) = estensione della lesione nella mappa PWI Tmax
- core infartuale = dimensioni della lesione DWI (diffusione ristretta = edema citotossico)
- penombra ischemica = volume della lesione PWI Tmax - volume lesione DWI



valori soglia:

- ipoperfusione totale = PWI Tmax > 6 sec
- core infartuale = ADC (Coefficiente di Diffusione Apparente) <  $620 \times 10^{-6}$  mm/sec



# Il target mismatch

Thrombectomy 6 to 24 Hours after Stroke with a Mismatch between Deficit and Infarct

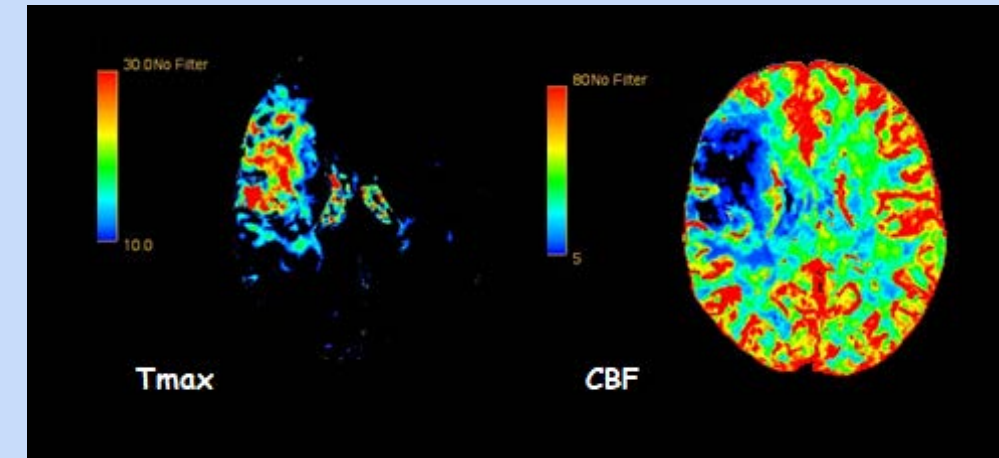
Nogueira RG et al. N Engl J Med 2018; 378:11-21 DAWN

Thrombectomy for Stroke at 6 to 16 Hours with Selection by Perfusion Imaging

Albers GW et al. N Engl J Med 2018; 378: 708-718 DEFUSE 3

Thrombolysis Guided by Perfusion Imaging up to 9 Hours after Onset of Stroke

Ma H et al. N Engl J Med 2019; 380: 1795-803 EXTEND



target mismatch



parametri di selezione  
ottimali  
(differenti nei trials)

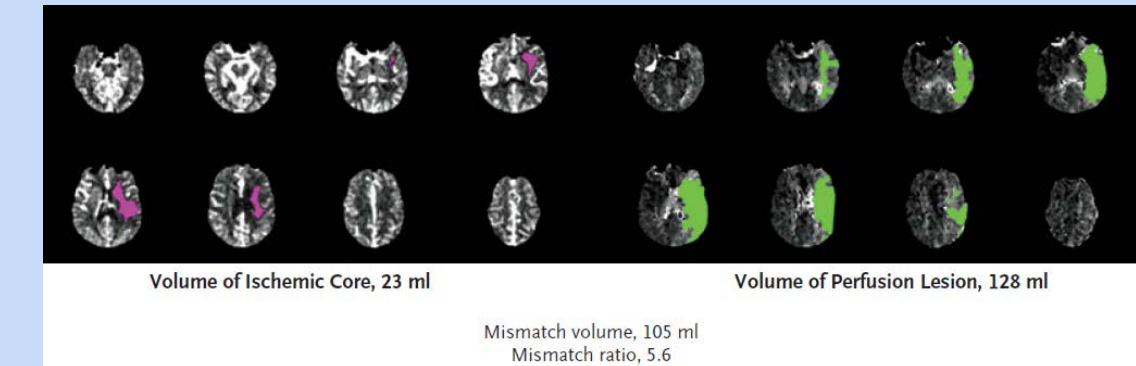


# DEFUSE 3

ORIGINAL ARTICLE

## Thrombectomy for Stroke at 6 to 16 Hours with Selection by Perfusion Imaging

G.W. Albers, M.P. Marks, S. Kemp, S. Christensen, J.P. Tsai, S. Ortega-Gutierrez, R.A. McTaggart, M.T. Torbey, M. Kim-Tenser, T. Leslie-Mazwi, A. Sarraj, S.E. Kasner, S.A. Ansari, S.D. Yeatts, S. Hamilton, M. Mlynash, J.J. Heit, G. Zaharchuk, S. Kim, J. Carrozzella, Y.Y. Palesch, A.M. Demchuk, R. Bammer, P.W. Lavori, J.P. Broderick, and M.G. Lansberg, for the DEFUSE 3 Investigators\*



N Engl J Med 2018; 378: 708-718

- **volume core < 70 ml**
- **volume penombra > 15 ml**
- **mismatch ratio > 1.8  
(ipoperfusione totale/core)**



criteri di selezione



**trattamento endovascolare  
6-16 ore dall'esordio**

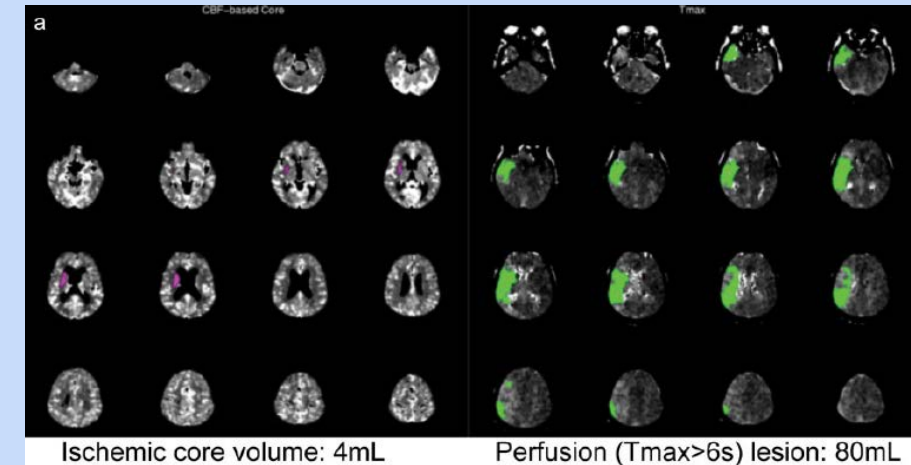


The NEW ENGLAND JOURNAL of MEDICINE

ESTABLISHED IN 1812      JANUARY 4, 2018      VOL. 378 NO. 1

Thrombectomy 6 to 24 Hours after Stroke with a Mismatch between Deficit and Infarct

R.G. Nogueira, A.P. Jadhav, D.C. Haussen, A. Bonafe, R.F. Budzik, P. Bhuvu, D.R. Yavagal, M. Ribo, C. Cognard, R.A. Hanel, C.A. Sila, A.E. Hassan, M. Millan, E.I. Levy, P. Mitchell, M. Chen, J.D. English, Q.A. Shah, F.L. Silver, V.M. Pereira, B.P. Mehta, B.W. Baxter, M.G. Abraham, P. Cardona, E. Veznedaroglu, F.R. Hellinger, L. Feng, J.F. Kirmani, D.K. Lopes, B.T. Jankowitz, M.R. Frankel, V. Costalat, N.A. Vora, A.J. Yoo, A.M. Malik, A.J. Furlan, M. Rubiera, A. Aghaebrahim, J.-M. Olivot, W.G. Tekle, R. Shields, T. Graves, R.J. Lewis, W.S. Smith, D.S. Liebeskind, J.L. Saver, and T.G. Jovin, for the DAWN Trial Investigators\*



- volume core < 21 ml  
se ≥ 80 anni; NIHSS = ≥10
- volume core < 31 ml  
se < 80 anni; NIHSS = ≥10
- volume core < 31-51 ml  
se < 80 anni; NIHSS = ≥20



criteri di selezione



trattamento endovascolare  
6-24 ore dall'esordio



# EXTEND e meta-analisi

## Thrombolysis Guided by Perfusion Imaging up to 9 Hours after Onset of Stroke

H. Ma, B.C.V. Campbell, M.W. Parsons, L. Churilov, C.R. Levi, C. Hsu, T.J. Kleinig, T. Wijeratne, S. Curtze, H.M. Dewey, F. Miteff, C.-H. Tsai, J.-T. Lee, T.G. Phan, N. Mahant, M.-C. Sun, M. Krause, J. Sturm, R. Grimley, C.-H. Chen, C.-J. Hu, A.A. Wong, D. Field, Y. Sun, P.A. Barber, A. Sabet, J. Jannes, J.-S. Jeng, B. Clissold, R. Markus, C.-H. Lin, L.-M. Lien, C.F. Bladin, S. Christensen, N. Yassi, G. Sharma, A. Bivard, P.M. Desmond, B. Yan, P.J. Mitchell, V. Thijs, L. Carey, A. Meretoja, S.M. Davis, and G.A. Donnan, for the EXTEND Investigators\*

N Engl J Med 2019; 380: 1795-803

## Extending thrombolysis to 4·5–9 h and wake-up stroke using perfusion imaging: a systematic review and meta-analysis of individual patient data

Bruce CV Campbell\*, Henry Ma\*, Peter A Ringleb\*, Mark W Parsons, Leonid Churilov, Martin Bendszus, Christopher R Levi, Chung Hsu, Timothy J Kleinig, Marc Fatar, Didier Leys, Carlos Molina, Tissa Wijeratne, Sami Curtze, Helen M Dewey, P Alan Barber, Kenneth S Butcher, Deidre A De Silva, Christopher F Bladin, Nawaf Yassi, Johannes A R Pfaff, Gagan Sharma, Andrew Bivard, Patricia M Desmond, Stefan Schwab, Peter D Schellinger, Bernard Yan, Peter J Mitchell, Joaquín Serena, Danilo Toni, Vincent Thijs, Werner Hacke, Stephen M Davist, Geoffrey A Donnant†, on behalf of the EXTEND, ECASS-4, and EPITHET Investigators‡

Lancet 2109; 13; 394: 139-147

- volume core < 70 ml
- volume penombra > 10 ml
- mismatch ratio > 1.2



criteri di selezione



trombolisi endovenosa  
≤ 4.5-9 ore dall'esordio



# Esordio non databile: immagini avanzate

Thrombolysis Guided by Perfusion Imaging up to 9 Hours after Onset of Stroke

Ma H et al. N Engl J Med 2019; 380: 1795-803 EXTEND

Thrombectomy for Stroke at 6 to 16 Hours with Selection by Perfusion Imaging

Albers GW et al. N Engl J Med 2018; 378: 708-718 DEFUSE 3

**Intravenous alteplase for stroke with unknown time of onset guided by advanced imaging: systematic review and meta-analysis of individual patient data**

Thomalla G et al. Lancet 2020; 396: 1574-1584  
EXTEND, THAWS, ECASS 4, WAKE-UP

Thrombectomy 6 to 24 Hours after Stroke with a Mismatch between Deficit and Infarct

Nogueira RG et al. N Engl J Med 2018; 378:11-21 DAWN

- diversi pazienti con esordio non databile selezionati con le metodiche avanzate nei trials per la trombolisi endovenosa e per il trattamento endovascolare raggiungevano una prognosi favorevole
- la selezione in questi pazienti potrebbe essere effettuata con:
  - criteri EXTEND per la trombolisi endovenosa
  - criteri DEFUSE 3 o DAWN per il trattamento endovascolare



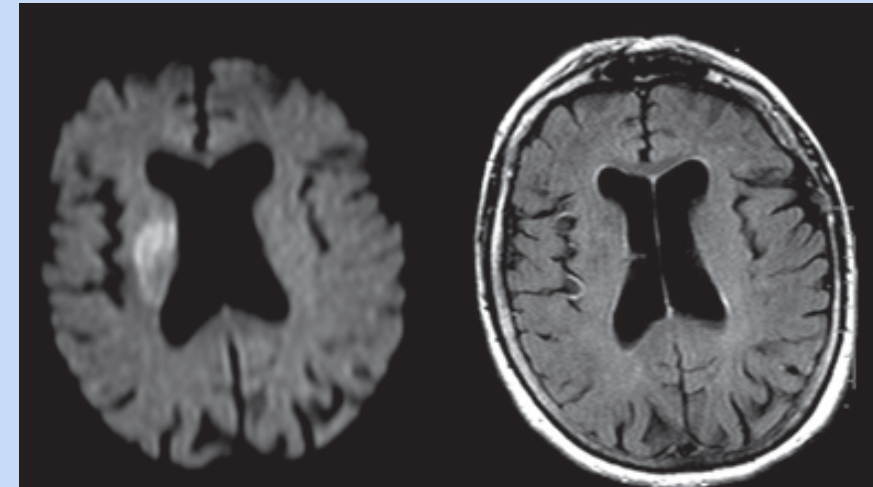
# Esordio non databile: WAKE-UP

ORIGINAL ARTICLE

## MRI-Guided Thrombolysis for Stroke with Unknown Time of Onset

G. Thomalla, C.Z. Simonsen, F. Boutitie, G. Andersen, Y. Berthezene, B. Cheng, B. Cheripelli, T.-H. Cho, F. Fazekas, J. Fiehler, I. Ford, I. Galinovic, S. Gellissen, A. Golsari, J. Gregori, M. Günther, J. Guibernau, K.G. Häusler, M. Hennerici, A. Kemmling, J. Marstrand, B. Modrau, L. Neeb, N. Perez de la Ossa, J. Puig, P. Ringleb, P. Roy, E. Scheel, W. Schonewille, J. Serena, S. Sunaert, K. Villringer, A. Wouters, V. Thijs, M. Ebinger, M. Endres, J.B. Fiebach, R. Lemmens, K.W. Muir, N. Nighoghossian, S. Pedraza, and C. Gerloff, for the WAKE-UP Investigators\*

N Engl J Med 2018; 379: 611-622



• mismatch DWI/FLAIR  
➤ DWI positiva/FLAIR negativa per la presenza di lesione ischemica



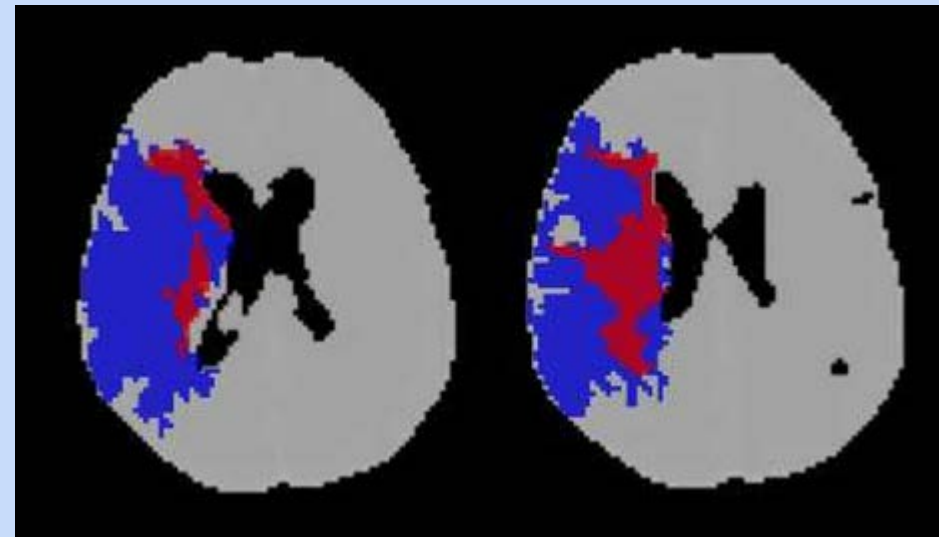
esordio ≤ 4.5 ore



trombolisi endovenosa in pazienti con esordio non databile (risveglio, indeterminato)



# Calcolo del target mismatch: software automatici

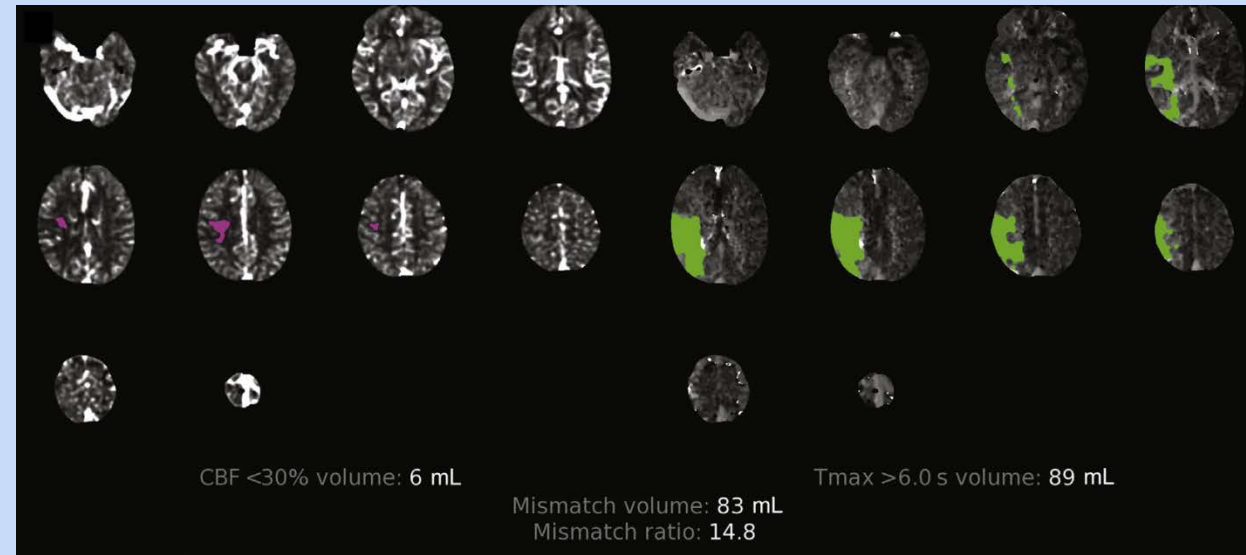


forniscono mappe di penombra pixel per pixel attraverso un'analisi volumetrica quantitativa basata sulle soglie:

- segmentano sostanza bianca e sostanza grigia
- identificano l'ipoperfusione totale e il core ischemico utilizzando i rispettivi valori soglia prestabiliti
- elaborano mappe che indicano di quanti pixels sono costituiti penombra e core e calcolano automaticamente il volume di queste due aree e il mismatch ratio

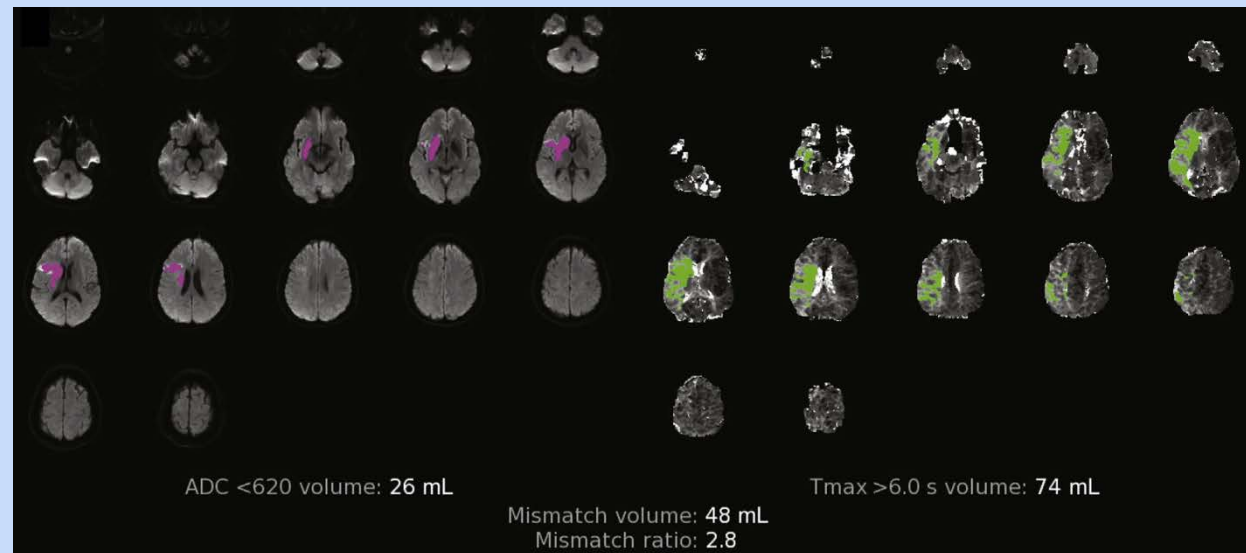


# II software RAPID



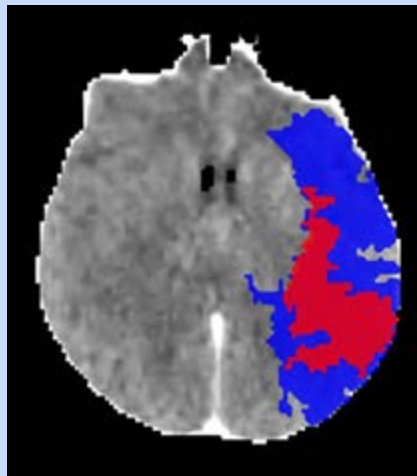
Lansberg MG et al. Lancet Neurol 2012; 11: 860-867

Campbell BCV et al. Int J Stroke 2015; 10: 51-54





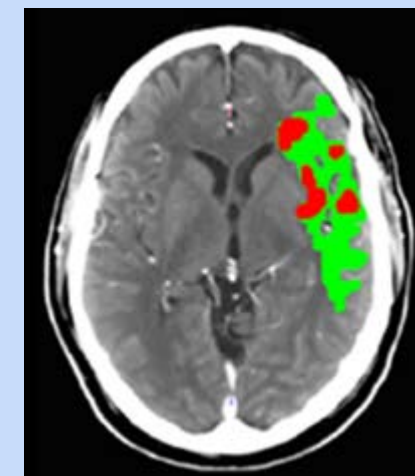
## Altri software



OLEA



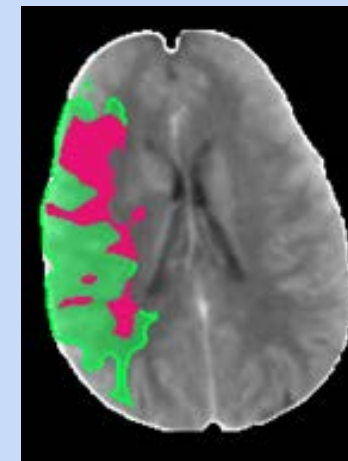
- ipoperfusione totale  
 $T_{max} > 6 \text{ sec}$
- core infartuale  
 $rCBF < 40\%$



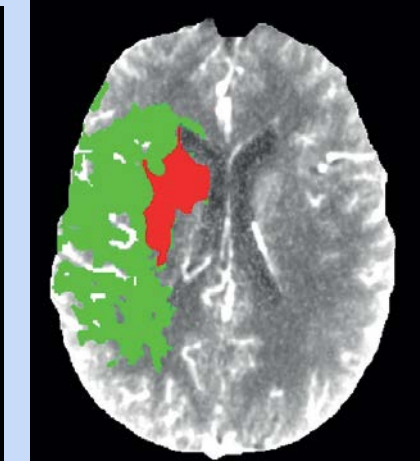
MISTAR



- ipoperfusione totale  
 $Delay Time > 3 \text{ sec}$
- core infartuale  
 $rCBF < 30\%$



BRAINOMIX



SYNGOVIA (SIEMENS)



- ipoperfusione totale  
 $T_{max} > 6 \text{ sec}$
- core infartuale  
 $rCBF < 30\%$

esistono altri software dedicati che calcolano automaticamente il volume di core e penombra e il mismatch ratio



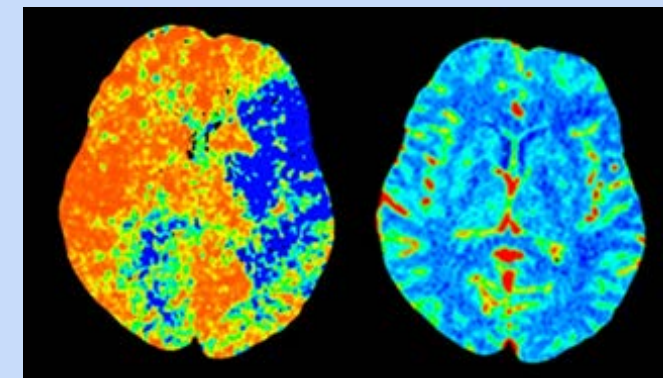
# Metodo alternativo al calcolo automatico

## Endovascular Thrombectomy for Acute Ischemic Stroke Beyond 6 Hours From Onset

A Real-World Experience

Ilaria Casetta MD; Enrico Fainardi, MD, PhD; Valentina Saia, MD, PhD; Giovanni Pracucci, MD; Marina Padroni, MD; Leonardo Renieri, MD; Patrizia Nencini, MD; Domenico Inzitari, MD; Daniele Morosetti, MD; Fabrizio Sallustio, MD; Stefano Vallone, MD; Guido Biglardi, MD; Andrea Zini, MD; Marcello Longo, MD; Isabella Francalanza, MD; Sandra Bracco, MD; Ignazio M. Vallone, MD; Rossana Tassi, MD; Mauro Bergui, MD; Andrea Naldi, MD; Andrea Saletti, MD; Alessandro De Vito, MD; Roberto Gasparotti, MD; Mauro Magoni, MD; Lucio Castellani, MD; Carlo Serrati, MD; Roberto Menozzi, MD; Umberto Scoditti, MD; Francesco Causin, MD; Alessio Pieroni, MD; Edoardo Pugliali, MD; Alfonsina Casalena, MD; Antico Sanna, MD; Maria Ruggiero, MD; Francesco Cordici, MD; Luca Di Maggio, MD; Enrica Duc, MD; Mirco Cosottini, MD; Nicola Giannini, MD; Giuseppina Sanfilippo, MD; Federico Zappoli, MD; Anna Cavallini, MD; Nicola Cavasin, MD; Adriana Critelli, MD; Elisa Ciceri, MD; Mauro Plebani, MD; Manuel Cappellari, MD; Luigi Chiumarulo, MD; Marco Petruzzelli, MD; Alberto Terrana, MD; Lucia Princiotto Cariddi, MD; Nicola Burdi, MD; Angelica Tinelli, MD; William Auteri, MD; Umberto Silvagni, MD; Francesco Biraschi, MD; Ettore Nicolini, MD; Riccardo Padolechia, MD; Tiziana Tassinari, MD; Pietro Filauri, MD; Simona Sacco, MD; Marco Pavia, MD; Paolo Invernizzi, MD; Nunzio P. Nuzzi, MD; Simona Marcheselli, MD; Pietro Amistà, MD; Monia Russo, MD; Ivan Gallesio, MD; Giuseppe Craparo, MD; Marina Mannino, MD; Salvatore Mangiafico, MD; Danilo Toni, MD; on behalf of the Italian Registry of Endovascular Treatment in Acute Stroke

Stroke 2020; 51: 2051-2057



MTT-CBV

**POSITIVE:** PerfusiOn imaging Selection of Ischemic sTroke patlents for endoVascular thErapy

J Mocco,<sup>1</sup> Adnan H Siddiqui <sup>1b</sup>,<sup>2,3</sup> David Fiorella <sup>1b</sup>,<sup>4,5</sup> Michael J Alexander <sup>1b</sup>,<sup>6</sup> Adam S Arthur <sup>1b</sup>,<sup>7,8</sup> Blaise W Baxter,<sup>9</sup> Ronald F Budzik,<sup>10</sup> Michael T Froehler,<sup>11</sup> Ricardo A Hanel <sup>1b</sup>,<sup>12</sup> Jonathan Lena,<sup>13</sup> Steven Persaud <sup>1b</sup>,<sup>1</sup> Ajit S Puri,<sup>14</sup> Ansaar T Rai <sup>1b</sup>,<sup>15</sup> Max Wintermark,<sup>16</sup> Keith Woodward,<sup>17</sup> Xiangnan Zhang,<sup>1</sup> Aquilla Turk<sup>18</sup>

J Neurointerv Surg. 2021 Feb 25 [online ahead of print]

selezionando i pazienti con un'analisi visiva del mismatch CTP MTT - CBV



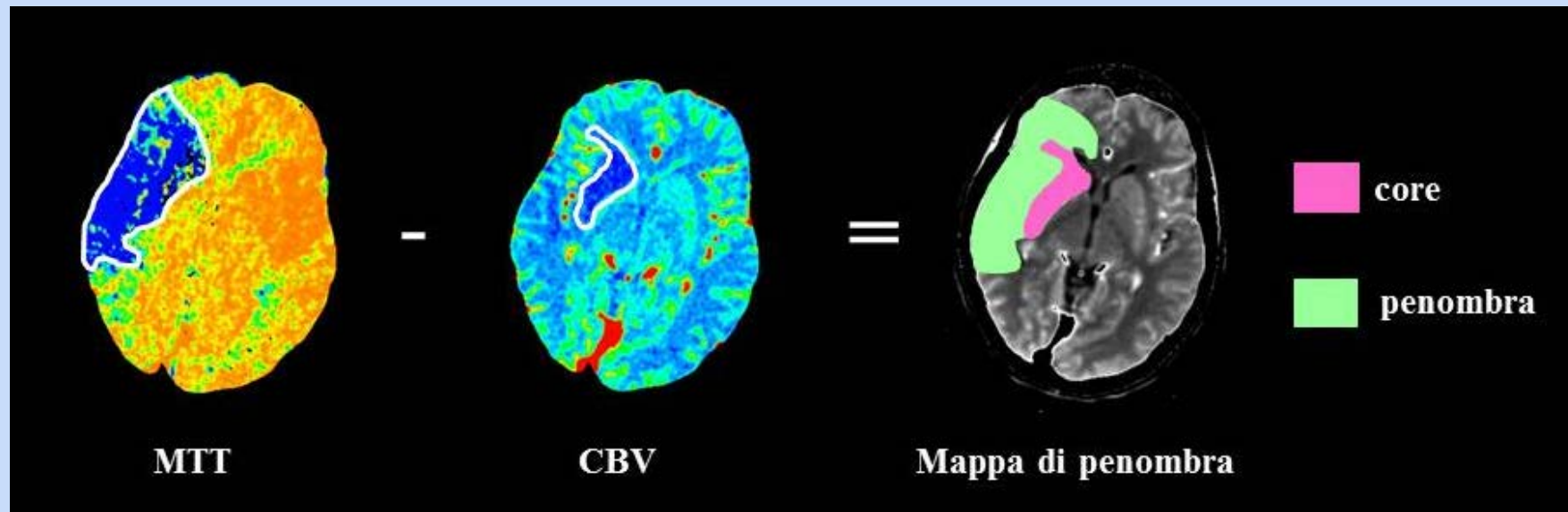
usando come criterio empirico le dimensioni del core < 50% dell'area ischemica totale  
(mismatch ratio > 1.8)



l'efficacia del trattamento endovascolare nella finestra tardiva = trials randomizzati controllati



# Mismatch CTP MTT - CBV



Wintermark M et al. Stroke 2006; 37: 979-985; Konstas AA et al. Am J Neuroradiol 2009; 30: 885-892  
Sanelli PC et al. Am J Neuroradiol 2014; 35: 1045-1051

- ipoperfusione totale (core + penombra) = estensione della lesione nella mappa di tempo medio di transito (MTT)

valori soglia:

- core infartuale = dimensioni della lesione nella mappa di volume ematico cerebrale (CBV)

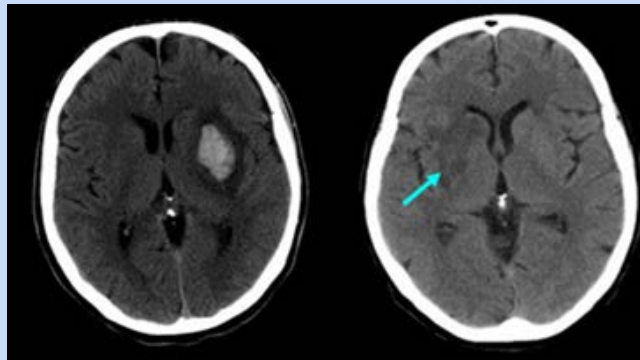


- ipoperfusione totale = MTT relativo (rMTT) > 145% rispetto al lato controlaterale sano
- core infartuale = CBV < 2 ml/100gr

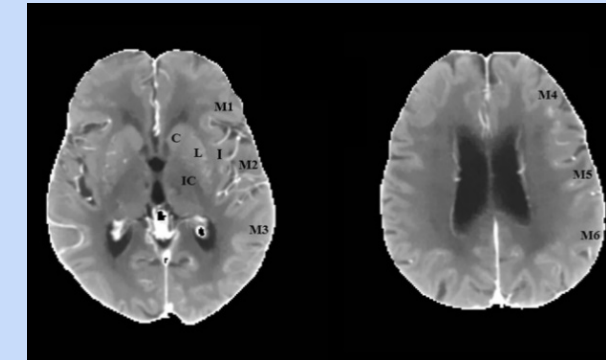
- penombra ischemica = volume lesione MTT - volume lesione CBV



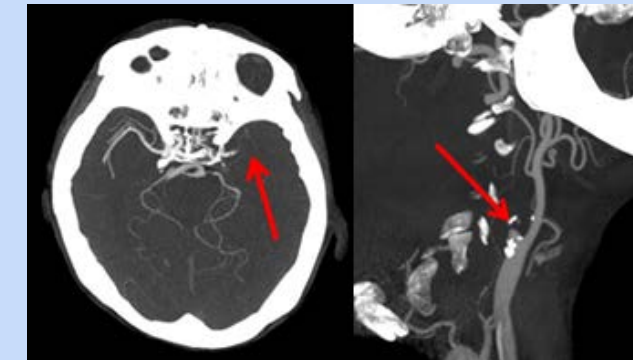
# Finestra $\leq$ 4.5 ore



TC standard



ASPECTS



Angio-TC

NIHSS < 6 = occlusione di un grosso vaso poco probabile



TC standard (NCCT)

*esclusione ematoma*

*riconoscimento segni precoci di infarto*

*calcolo segni precoci di infarto (ASPECTS)*



trombolisi endovenosa se ASPECTS > 7

NIHSS  $\geq$  6 = occlusione di un grosso vaso molto probabile



TC standard (NCCT)

+

Angio-TC (mCTA)

*identificazione sede occlusione*

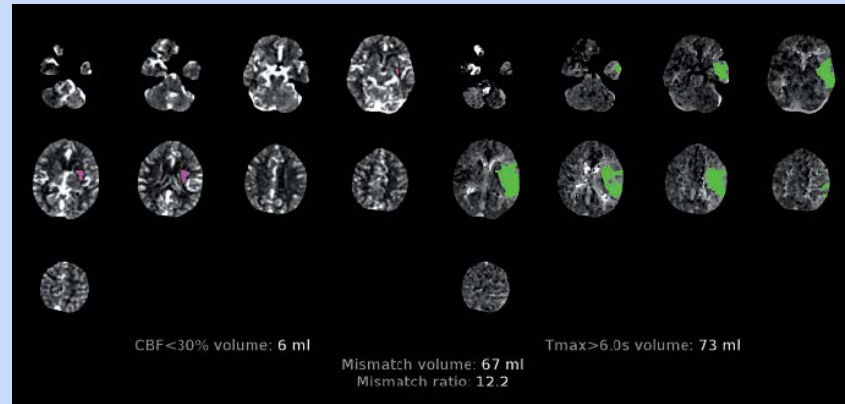
*valutazione circoli collaterali*



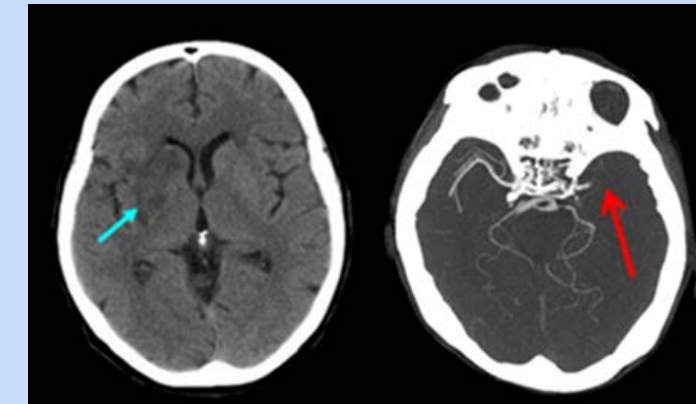
- trombolisi endovenosa + trattamento endovascolare se ASPECTS > 7
- trattamento endovascolare se ASPECTS  $\geq$  6



# Finestra 4.5 - 6 ore



CTP o PWI-DWI



NCCT + CTA

occlusione di un grosso vaso molto probabile

Perfusione TC (CTP)  
o  
Perfusione/Diffusione RM (MR PWI-DWI)



se soddisfatti i criteri EXTEND  
trombolisi endovenosa

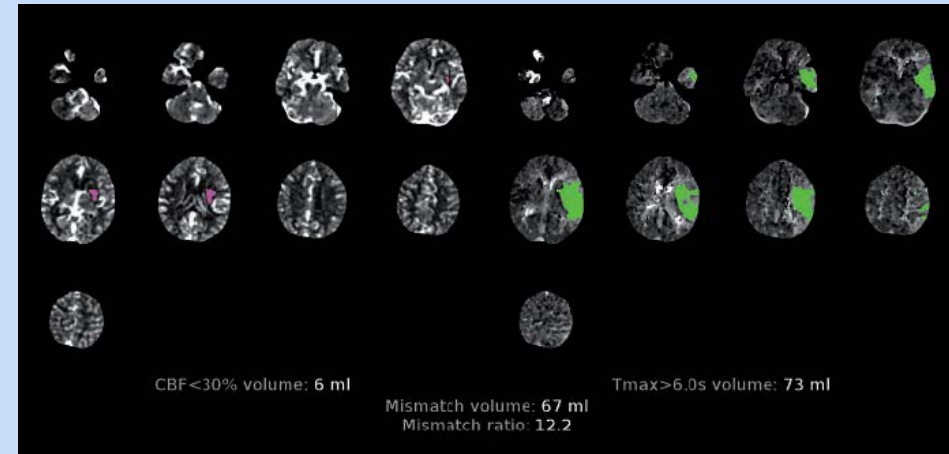
TC standard (NCCT)  
+  
Angio-TC (mCTA)



se ASPECTS  $\geq 6$   
trattamento endovascolare



# Finestra 6 - 9 ore



CTP o PWI-DWI

Perfusione TC (CTP)

o

Perfusione/Diffusione RM (MR PWI-DWI)

se soddisfatti i criteri EXTEND e DEFUSE 3 o DAWN

trombolisi endovenosa

+

trattamento endovascolare

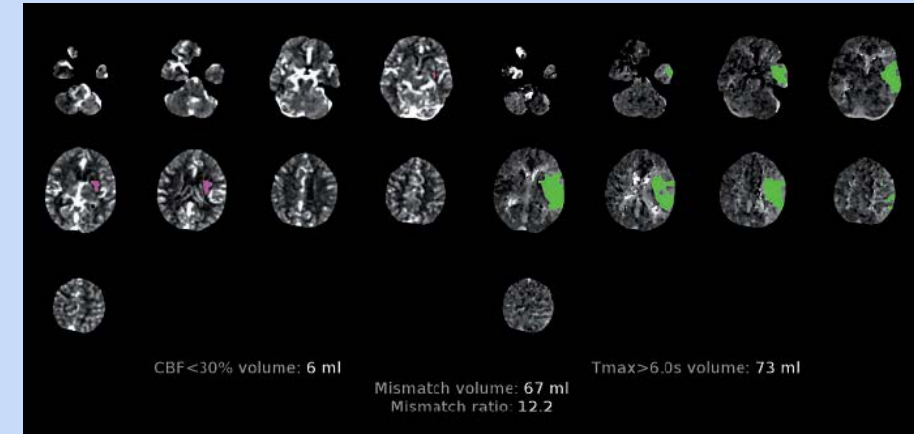
se soddisfatti i criteri DEFUSE 3 o DAWN

trattamento endovascolare

(valutazione circoli collaterali con mCTA)



# Finestra 9 - 24 ore



9-16 ore



se soddisfatti i criteri DEFUSE 3 o DAWN  
trattamento endovascolare  
(valutazione circoli collaterali con mCTA)

CTP o PWI-DWI

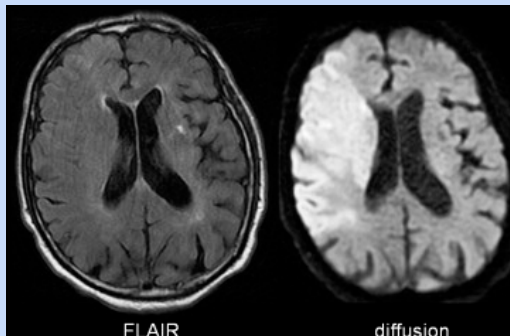
16-24



se soddisfatti i criteri DAWN  
trattamento endovascolare  
(valutazione circoli collaterali con mCTA)



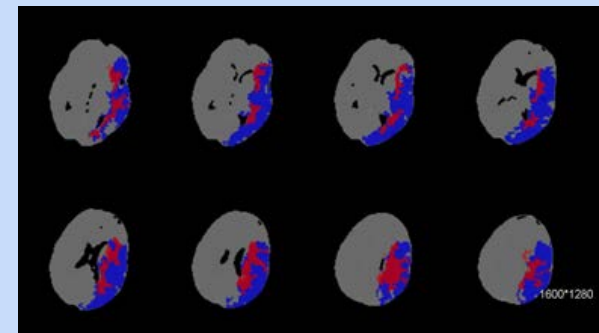
# Esordio non databile



MR FLAIR/DWI



MRA



PWI-DWI

MR DWI/FLAIR  
+  
Angio-RM (MRA)

se mismatch DWI/FLAIR  
(DWI positiva/FLAIR negativa)  
trombolisi endovenosa

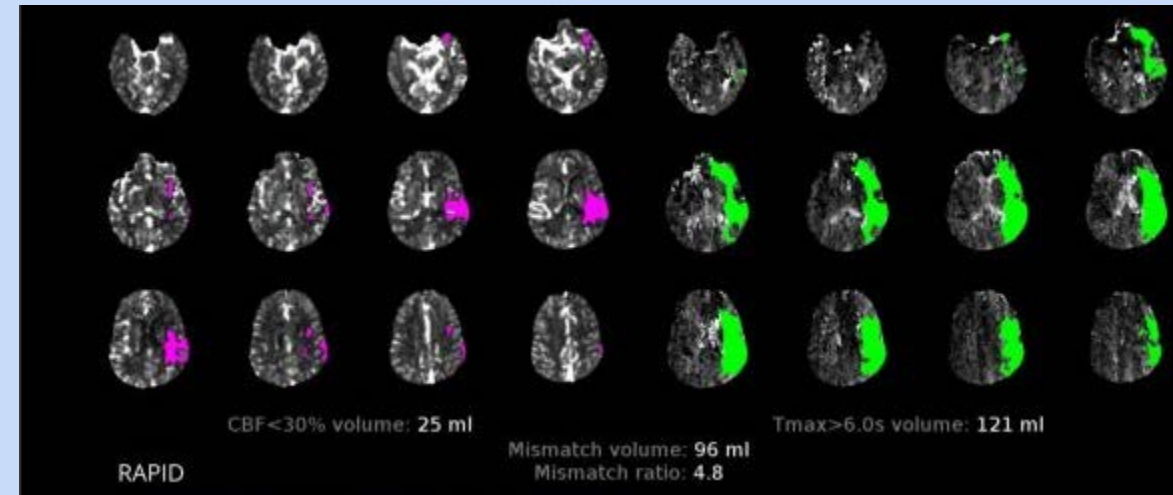
se occlusione di un grosso vaso

MR PWI-DWI

se soddisfatti i criteri DEFUSE 3 o DAWN  
trattamento endovascolare



# Esordio non databile



Perfusion TC (CTP)

o

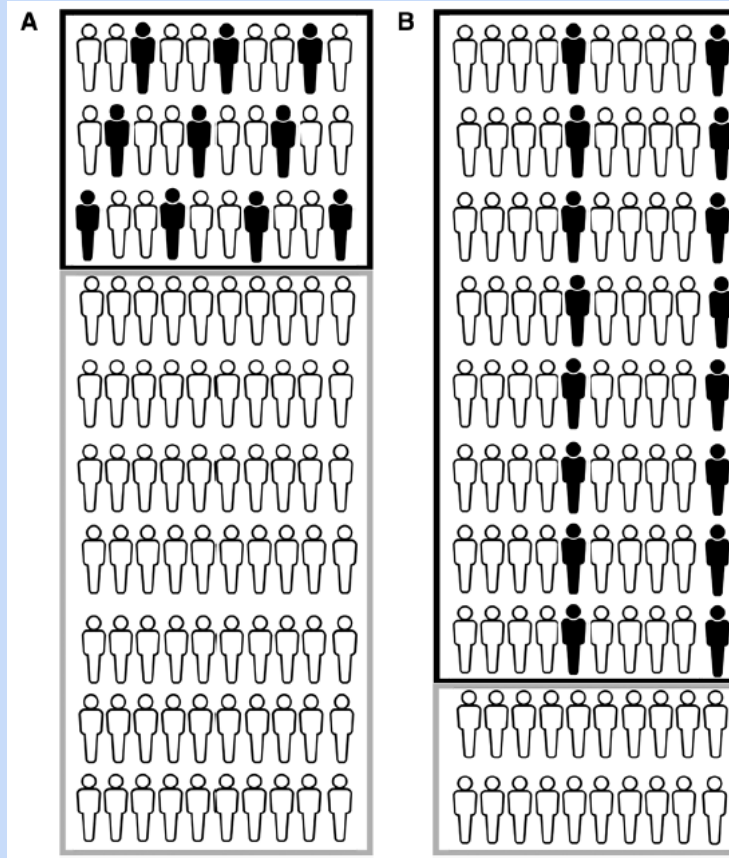
Perfusion/Diffusion RM (MR PWI-DWI)

se soddisfatti i criteri EXTEND  
trombolisi endovenosa

se soddisfatti i criteri DEFUSE 3 o DAWN  
trattamento endovascolare  
(valutazione circoli collaterali con mCTA)



# Il problema della selezione



## Endovascular Treatment of Acute Stroke A Call for Individualized Patient Selection

Raul G. Nogueira, MD; Marc Ribó, MD

Stroke 2019; 50: 2612-2618

## Ischaemic stroke

Bruce C. V. Campbell<sup>1,2\*</sup>, Deidre A. De Silva<sup>3</sup>, Malcolm R. Macleod<sup>4</sup>, Shelagh B. Coutts<sup>5</sup>, Lee H. Schwamm<sup>6</sup>, Stephen M. Davis<sup>1</sup> and Geoffrey A. Donnan<sup>1,2</sup>

Nat Rev Dis Primers 2019; 5: 70

## Endovascular thrombectomy after large-vessel ischaemic stroke: a meta-analysis of individual patient data from five randomised trials

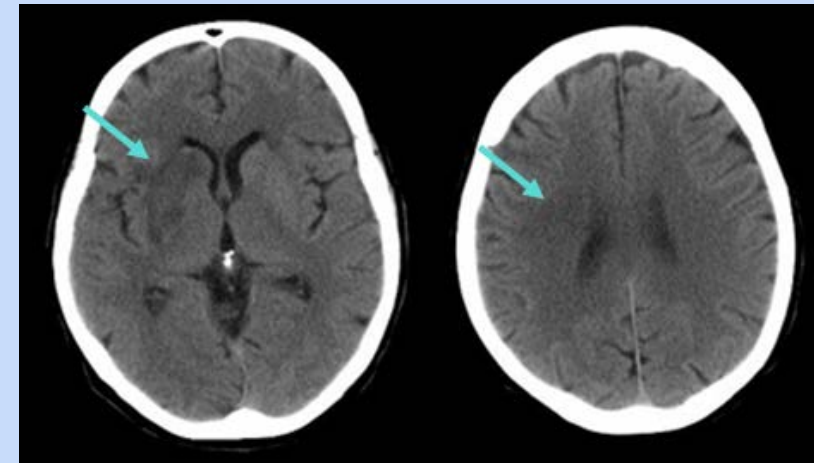
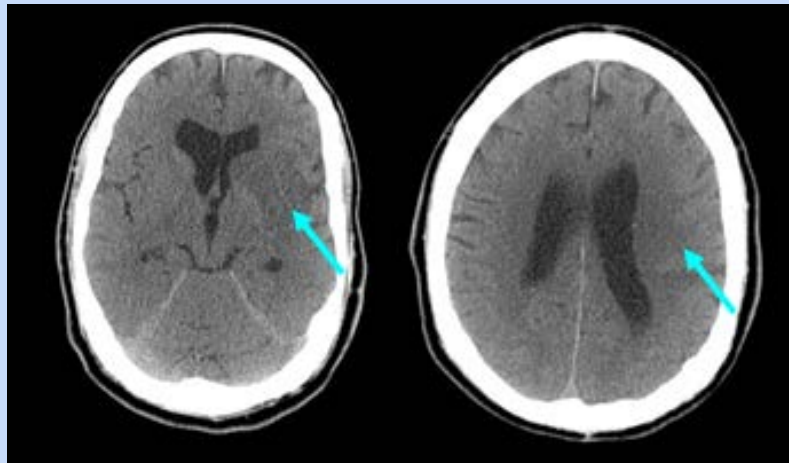
Mayank Goyal, Bijoy K Menon, Wim H van Zwam, Diederik W J Dippel, Peter J Mitchell, Andrew M Demchuk, Antoni Dávalos, Charles B L M Majoi, Aad van der Lugt, Maria A de Miquel, Geoffrey A Donnan, Yvo B W E M Roos, Alain Bonafe, Reza Jahan, Hans-Christoph Diener, Lucie A van den Berg, Elad I Levy, Olvert A Berkhemer, Vitor M Pereira, Jeremy Rempel, Mònica Millán, Stephen M Davis, Daniel Roy, John Thornton, Luis San Román, Marc Ribó, Debbie Beumer, Bruce Stouch, Scott Brown, Bruce CV Campbell, Robert J van Oostenbrugge, Jeffrey L Saver, Michael D Hill, Tudor G Jovin, for the HERMES collaborators

Lancet 2016; 387: 1723-1731

- solo il 15-20% dei pazienti con ictus ischemico acuto sono attualmente considerati eleggibili per le terapie di riperfusione perché le tecniche avanzate sono utili ma iperselezionano con il rischio di perdere pazienti che meriterebbero il trattamento
- molti pazienti ricanalizzati (50%) non raggiungono un buon outcome clinico (riconnalizzazioni futili)



# Punteggio ASPECTS: scarsa concordanza



Wardlaw et al. Radiology 2005; 235: 444-453; Wardlaw et al. Stroke 2007; 38: 1250-1256;  
Puetz V et al. Int J Stroke 2009; 4: 354-364; Gupta AC et al. Am J Neuroradiol 2012; 33: 1046-1049

**scarsa concordanza fra diversi osservatori nell'identificare i segni precoci di infarto**



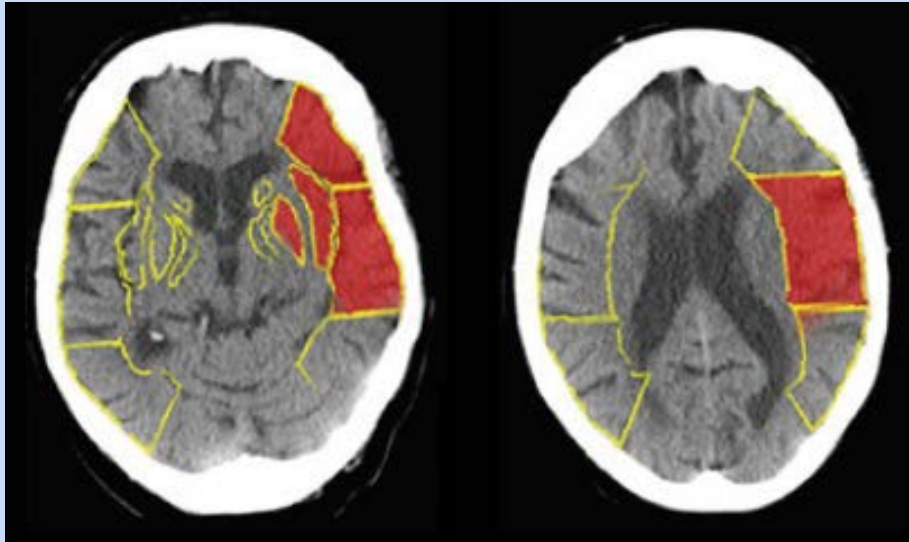
**punteggi diversi fra osservatori differenti**



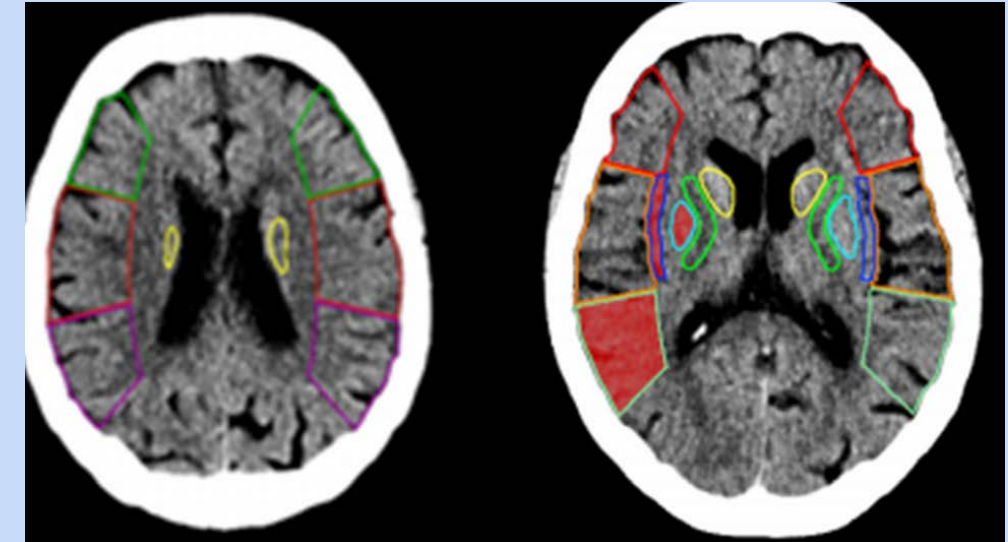
**eccessiva variabilità di giudizio**



# Punteggio ASPECTS: e-ASPECTS



Brainomix



RAPID

esistono attualmente software dedicati che calcolano automaticamente il punteggio ASPECTS sulla base di algoritmi di intelligenza artificiale



# Punteggio e-ASPECTS: accuratezza

**e-ASPECTS software is non-inferior to neuroradiologists in applying the ASPECT score to computed tomography scans of acute ischemic stroke patients**

Simon Nagel<sup>1,\*</sup>, Devesh Sinha<sup>2,\*</sup>, Diana Day<sup>3</sup>, Wolfgang Reith<sup>4</sup>, René Chapot<sup>5</sup>, Panagiotis Papanagiotou<sup>6</sup>, Elizabeth A Warburton<sup>7</sup>, Paul Guyler<sup>2</sup>, Sharon Tysoe<sup>2</sup>, Klaus Fassbender<sup>8</sup>, Silke Walter<sup>8,9</sup>, Marco Essig<sup>10</sup>, Jens Heidenreich<sup>11</sup>, Angelos A Konstas<sup>12</sup>, Michael Harrison<sup>13</sup>, Michalis Papadakis<sup>14</sup>, Eric Greveson<sup>14</sup>, Olivier Joly<sup>14</sup>, Stephen Gerry<sup>15</sup>, Holly Maguire<sup>16</sup>, Christine Roffe<sup>16</sup>, James Hampton-Till<sup>13</sup>, Alastair M Buchan<sup>9</sup> and Iris Q Grunwald<sup>2,14,17</sup>

International Journal of Stroke  
2017, Vol. 12(6) 615–622  
© 2016 World Stroke Organization  
Reprints and permissions:  
[sagepub.co.uk/journalsPermissions.nav](http://sagepub.co.uk/journalsPermissions.nav)  
DOI: 10.1177/1747493016681020  
[journals.sagepub.com/home/wso](http://journals.sagepub.com/home/wso)  
\$SAGE

## External Validation of e-ASPECTS Software for Interpreting Brain CT in Stroke

Grant Mair, MD <sup>1</sup> Philip White, MD <sup>2</sup> Philip M. Bath, DSc <sup>3</sup> Keith W. Muir, MD <sup>4</sup>, Rustam Al-Shahi Salman, PhD <sup>1</sup> Chloe Martin, <sup>1</sup> David Dye <sup>1</sup>, Francesca M. Chappell, PhD <sup>1</sup> Adam Vacek <sup>1</sup> Rüdiger von Kummer, Prof. Dr. med. <sup>5</sup>, Malcolm Macleod, PhD <sup>1</sup> Nikola Sprigg, DM <sup>2</sup> and Joanna M. Wardlaw, MD <sup>1,6</sup>

Ann Neurol 2022; Aug 31: Online ahead of print

- non ci sono evidenze che l'utilizzo del e-ASPECTS sia più accurato e superiore alla analisi visiva nel misurare i segni precoci di infarto e determinare il punteggio ASPECTS
- la valutazione automatica è utile, ma richiede spesso l'intervento correttivo del neuroradiologo attraverso un'analisi visiva = e-ASPECTS utile soprattutto per i radiologi meno esperti
- concordanza moderata fra punteggio ASPECTS determinato da esperti attraverso l'analisi visiva e punteggio e-ASPECTS che fornisce più spesso falsi positivi



# Limiti dei software automatici

## Automated CT perfusion imaging for acute ischemic stroke

Pearls and pitfalls for real-world use

Achala Vagal, MD, MS, Max Wintermark, MD, Kambiz Nael, MD, Andrew Bivard, PhD, Mark Parsons, MD, PhD, Aaron W. Grossman, MD, PhD, and Pooja Khatri, MD, MSc

*Neurology*® 2019;93:888-898. doi:10.1212/WNL.0000000000008481

## Automated Brain Perfusion Imaging in Acute Ischemic Stroke

Interpretation Pearls and Pitfalls

Manal Nicolas-Jilwan<sup>ID</sup>, MD; Max Wintermark<sup>ID</sup>, MD

Stroke 2021; 52: 3728-3738

- scarsa attendibilità delle mappe di core e penombra (11-25% dei casi)
  - artefatti da movimento o tecnici (comparsa di aree ipoperfuse artefattuali in sede temporale e occipitale, in fossa cranica posteriore, a livello delle orbite e della base cranica per la presenza di strutture ossee ad elevato spessore)
  - imprecisione nella somministrazione del bolo di contrasto (arrivo ritardato o di una quota insufficiente)
  - sottostima di lesioni ipodense visibili alla NCCT da parziale riperfusione conseguente all'apertura dei circoli collaterali
- i software automatici non sono intercambiabili = dimensioni core e penombra cambiano a seconda del software utilizzato = mancanza di standardizzazione



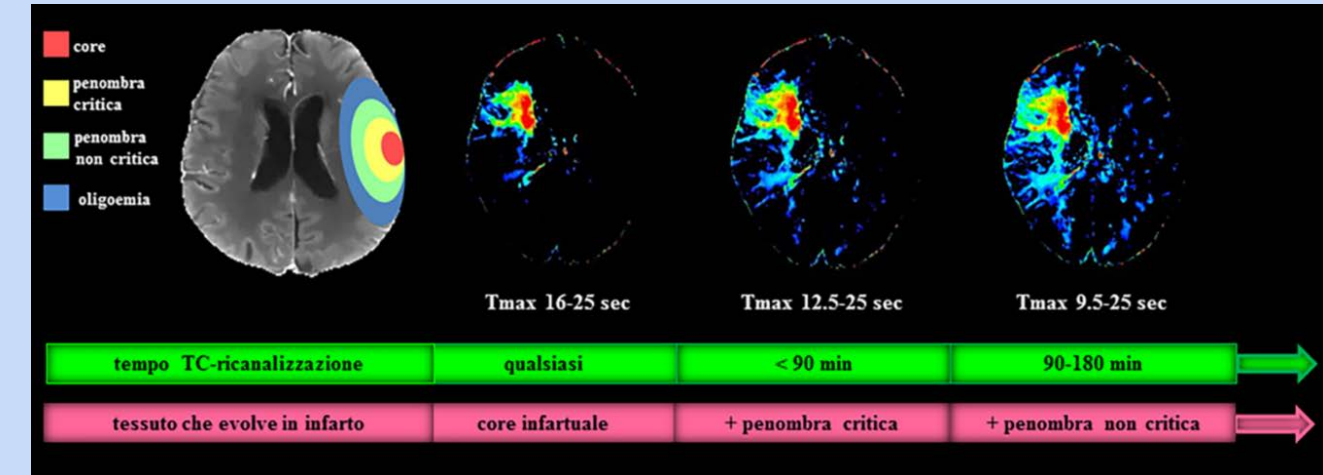
# Scarsa associazione fra core e outcome

## TOPICAL REVIEW

### Challenging the Ischemic Core Concept in Acute Ischemic Stroke Imaging

Mayank Goyal<sup>ID</sup>, MD, PhD; Johanna M. Ospel<sup>ID</sup>, MD; Bijoy Menon, MD; Mohammed Almekhlafi, MD; Mahesh Jayaraman, MD; Jens Fiehler, MD; Marios Psychogios<sup>ID</sup>, MD; Rene Chapot, MD; Aad van der Lugt, MD; Jianmin Liu, MD; Pengfei Yang, MD; Ronit Agid, MD; Werner Hacke, MD; Melanie Walker, MD; Urs Fischer, MD; Negar Asdaghi, MD; Ryan McTaggart<sup>ID</sup>, MD; Padma Srivastava, MD; Raul G. Nogueira<sup>ID</sup>, MD; Jacques Moret, MD; Jeffrey L. Saver, MD; Michael D. Hill, MD; Diederik Dippel<sup>ID</sup>, MD; Marc Fisher<sup>ID</sup>, MD

Stroke 2020; 51:3147–3155



Bivard A et al. Ann Neurol 2017; 82: 995-1003; Najm M et al. Can J Neurol Sci 2018; 45: 339-342; Qiu W et al. Stroke 2019; 11: 3269-3273; Laredo C et al. Cereb Blood Flow Metab 2020; 40: 966-977

la correlazione fra ampiezza del core determinato con le tecniche avanzate e outcome radiologico (volume dell'infarto finale) e clinico (modified Rankin Scale) non è ottimale:

- la definizione delle dimensioni di core e penombra è poco accurata
- le soglie per il core sono tempo-dipendenti = cambiano con l'aumentare del tempo che trascorre dalla fine della diagnostica per immagini al momento della ricanalizzazione (tempo TC-ricanalizzazione) = difficilmente identificabili perché dipendono da un tempo che non è prevedibile nel momento in cui si effettua il protocollo TC all'esordio



# Dimensioni del core: sottostima

## Accuracy of "At Risk" Tissue Predictions Using CT Perfusion in Acute Large Vessel Occlusions

Songmi Lee, Albert J. Yoo, Henk A. Marquering, Olvert A. Berkhemer, Charles B. Majoie, Diederik W.J. Dippel, Sunil A. Sheth, for the MR CLEAN Investigators

J Neuroimaging 2019; 29: 371-375

## Perfusion Scotoma: A Potential Core Underestimation in CT Perfusion in the Delayed Time Window in Patients with Acute Ischemic Stroke

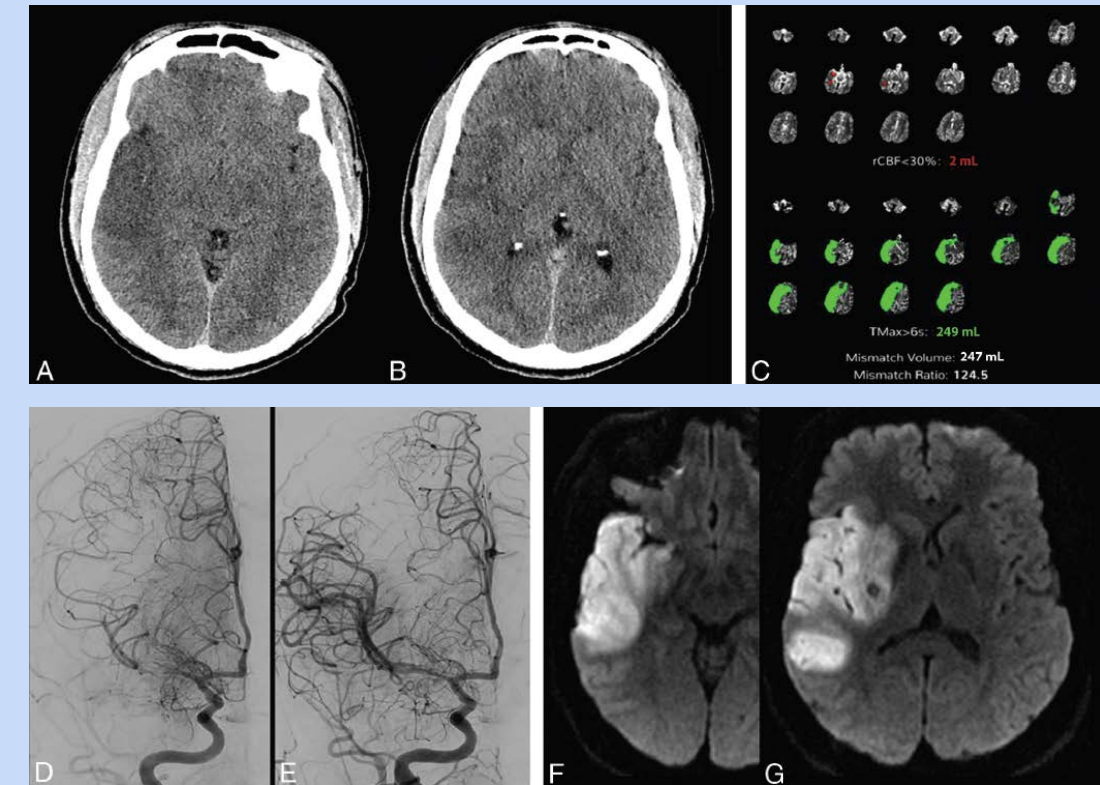
K. Abrams and G. Dabus

AJNR Am J Neuroradiol 2022; 43: 813-816

False normal CT perfusion ischemic core readings are common and often associated with deep infarcts

Mehdi Bouslama <sup>1</sup>, Krishnan Ravindran, <sup>2</sup> Gabriel Martins Rodrigues <sup>3,4</sup>, Leonardo Pisani <sup>5</sup>, Diogo C Haussen, <sup>3,4</sup> Michael R Frankel, <sup>3,4</sup> Raul G Nogueira <sup>3,4</sup>

J Neurointerv Surg 2022 Mar 10; Online ahead of print



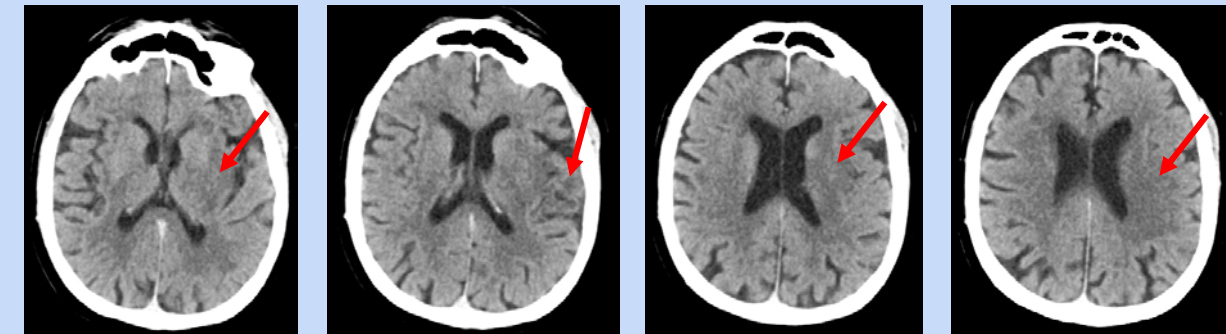
Siegler JE et al. J Neuroimaging 2020; 30: 219-226

- la CTP sottostima il volume del core visibile nella NCCT come lesione ipodensa nella finestra precoce (nel 25%-36% dei casi < 6 ore) e nella finestra tardiva (nel 20-25% dei casi > 6 ore) = scotoma perfusionale
- questa sottostima sembra dovuta ad una parziale ripercuzione conseguente all'apertura dei circoli collaterali



# Sottostima dimensioni del core: soluzioni

soluzione = guardare dimensioni ipodensità precoce nella NCCT  
e estensione dei circoli collaterali nella CTA

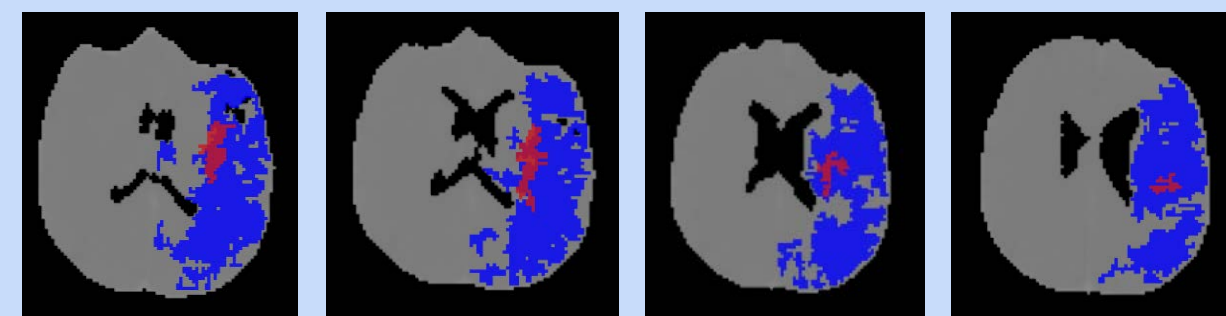


NCCT: ASPECTS = 5

- se discrepanza fra NCCT e CTP =  
core ampio nella NCCT e core piccolo  
nella CTP



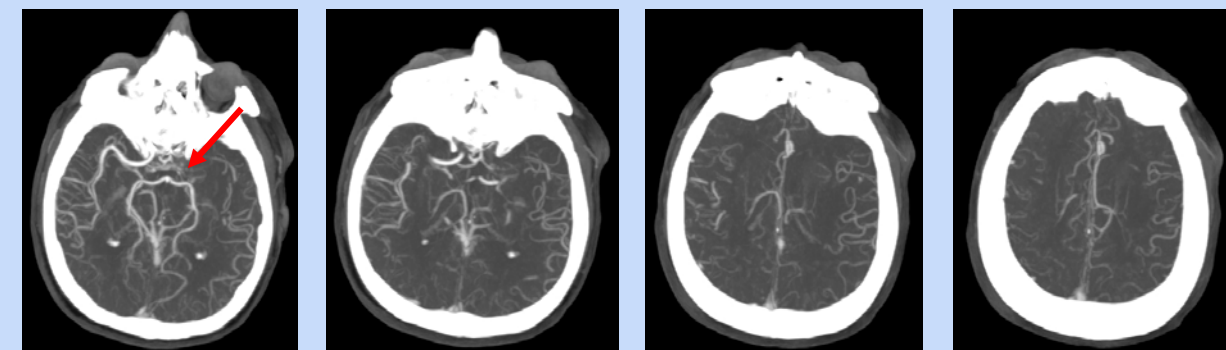
CTA: occlusione a T del  
sifone carotideo di sinistra



CTP: core piccolo; penombra grande



scotoma perfusionale



CTA: collateral score = 5 (circoli collaterali buoni)



# Dimensioni del core: sovrastima

## **Ghost Infarct Core and Admission Computed Tomography Perfusion: Redefining the Role of Neuroimaging in Acute Ischemic Stroke**

Nuno Martins<sup>d</sup> Ana Aires<sup>e,f</sup> Beatriz Mendez<sup>g</sup> Sandra Boned<sup>a,b</sup>  
Marta Rubiera<sup>a,b</sup> Alejandro Tomasello<sup>c</sup> Pilar Coscojuela<sup>c</sup>  
David Hernandez<sup>c</sup> Marián Muchada<sup>a,b</sup> David Rodríguez-Luna<sup>a,b</sup>  
Noelia Rodríguez<sup>a,b</sup> Jesús M. Juega<sup>a,b</sup> Jorge Pagola<sup>a,b</sup>  
Carlos A. Molina<sup>a,b</sup> Marc Ribó<sup>a,b</sup>

Intervent Neurol 2018; 7: 513-521

## **Ischemic Core Overestimation on Computed Tomography Perfusion**

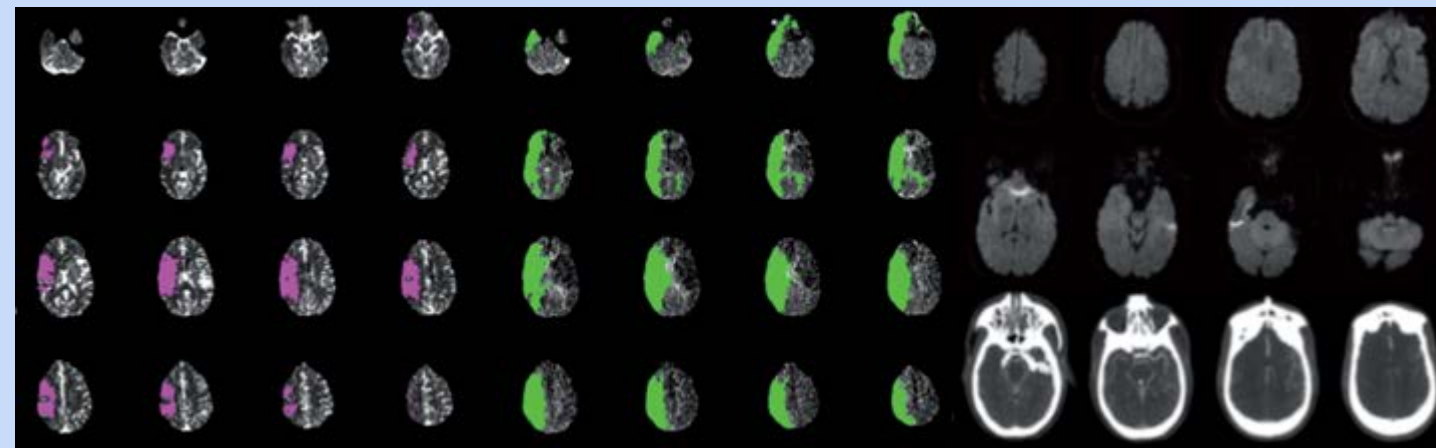
Álvaro García-Tornel<sup>D</sup>, MD; Daniel Campos<sup>D</sup>, MD; Marta Rubiera<sup>D</sup>, MD, PhD; Sandra Boned, MD, PhD;  
Marta Olivé-Gadea, MD; Manuel Requena<sup>D</sup>, MD, PhD; Ludovico Ciolfi<sup>D</sup>, MD; Marian Muchada<sup>D</sup>, MD, PhD;  
Jorge Pagola<sup>D</sup>, MD, PhD; David Rodriguez-Luna, MD, PhD; Matias Deck, MD; Jesus Juega<sup>D</sup>, MD;  
Noelia Rodríguez-Villatoro, MD, PhD; Estela Sanjuan<sup>D</sup>, RN, PhD; Alejandro Tomasello<sup>D</sup>, MD; Carlos Piñana<sup>D</sup>, MD;  
David Hernández, MD; José Álvarez-Sabin, MD, PhD; Carlos A. Molina, MD, PhD; Marc Ribó<sup>D</sup>, MD, PhD

Stroke 2021; 52: 1751-1760

## **Ghost infarct core following endovascular reperfusion: A risk for computed tomography perfusion misguided selection in stroke**

Gabriel M Rodrigues<sup>G</sup>, Mahmoud H Mohammaden<sup>G</sup>,  
Diogo C Haussen, Mehdi Bouslama<sup>G</sup>, Krishnan Ravindran,  
Leonardo Pisani, Adam Prater, Michael R Frankel and  
Raul G Nogueira

Int J Stroke 2021 Nov 19; Online ahead of print



- la CTP sovrastima il volume del core nella finestra precoce (nel 20% dei casi < 4.5 ore; nel 15% dei casi < 6 ore) = infarto fantasma
- questa sovrastima sembra dovuta alla presenza di circoli collaterali poveri



# Sovrastima core: soluzioni

## Ischemic Core Thresholds Change with Time to Reperfusion: A Case Control Study

Andrew Bivard, PhD,<sup>1</sup> Tim Kleinig, PhD, FRACP,<sup>2</sup> Ferdinand Miteff, FRACP,<sup>1</sup> Kenneth Butcher, FRACP,<sup>3</sup> Longting Lin, PhD,<sup>1</sup> Christopher Levi, FRACP,<sup>1</sup> and Mark Parsons, PhD, FRACP<sup>1</sup>

Ann 2017; 82: 995-1003

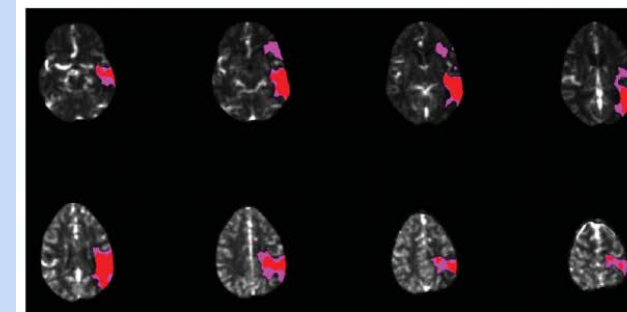
## Accuracy of CT Perfusion-Based Core Estimation of Follow-up Infarction

Effects of Time Since Last Known Well

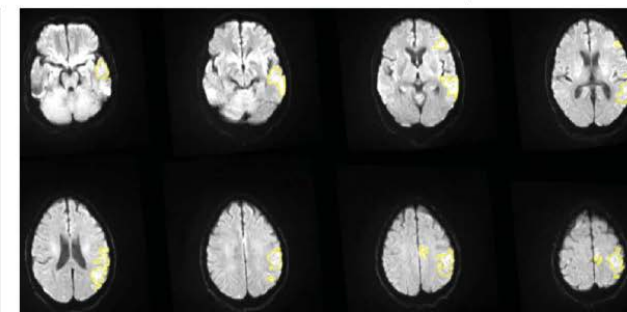
Amrou Sarraj, MD, Bruce C.V. Campbell, MBBS, PhD, Soren Christensen, PhD, Clark W. Sitton, MD, Shekhar Khanpara, MBBS, Roy F. Riascos, MD, Deep Pujara, MBBS, MPH, MS, Faris Shaker, MBChB, Gagan Sharma, MS, Maarten G. Lansberg, MD, PhD, and Gregory W. Albers, MD, on behalf of the SELECT Investigators

Neurology® 2022;98:e2084-e2096. doi:10.1212/WNL.0000000000200269

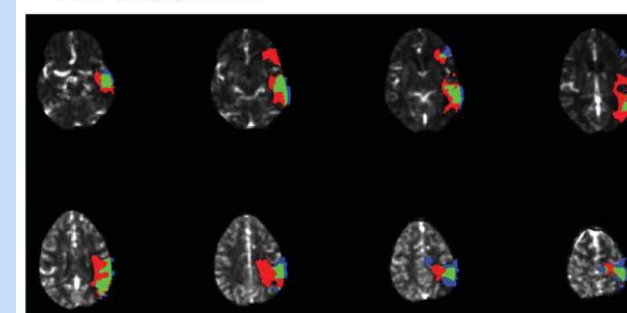
A. Ischemic core volume on baseline CTP



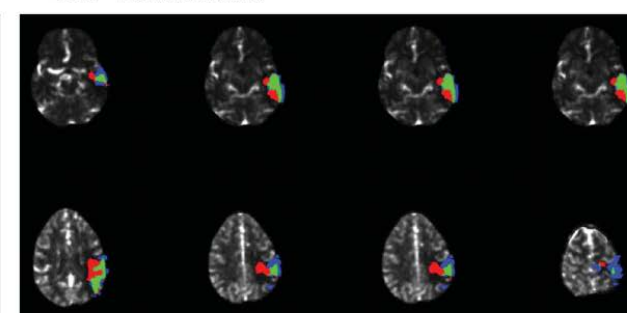
B. Delineated final infarct volume on follow-up DWI



C. Coregistration of final infarct on CT perfusion using rCBF <30% threshold



D. Coregistration of final infarct on CT perfusion using rCBF <20% threshold



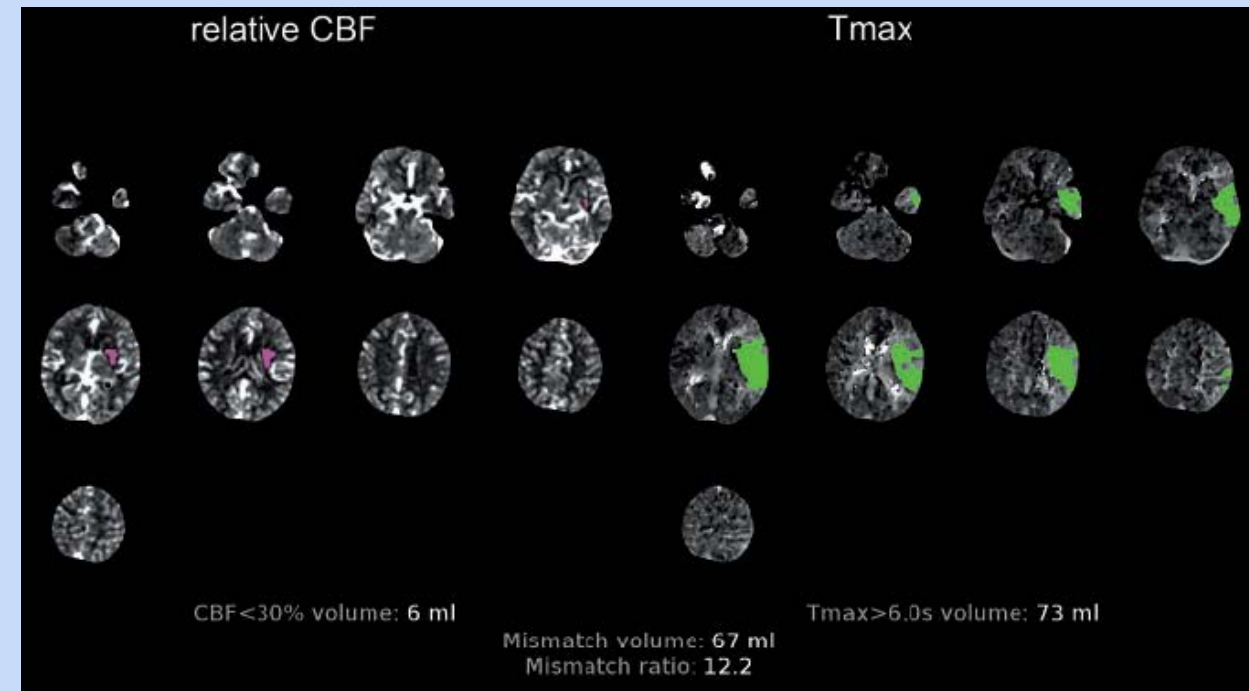
la sovrastima del volume del core da parte della CTP nella finestra precoce (<4.5 ore) può essere eliminata utilizzando una soglia di flusso ematico cerebrale (rCBF) più conservativa



core infartuale = CBF relativo (rCBF) < 20% rispetto al lato controlaterale sano invece che < 30% (DEFUSE 3, DAWN, EXTEND)



# Due correnti di pensiero



le tecniche avanzate  
non servono per la selezione



le tecniche avanzate  
sono la base della selezione



# la NCCT è sufficiente per la selezione

## Impact of Initial Imaging Protocol on Likelihood of Endovascular Stroke Therapy

Victor Lopez-Rivera, MD; Rania Abdelkaleq, BS; Jose-Miguel Yamal, PhD; Noopur Singh, MPH; Sean I. Savitz, MD; Alexandra L. Czap, MD; Yazan Alderazi, MD; Peng R. Chen, MD; James C. Grotta, MD; Spiros Blackburn, MD; Gary Spiegel, MD; Mark J. Dennenbaum, MD; Tzu-Ching Wu, MD; Albert J. Yoo, MD, PhD; Louise D. McCullough, MD, PhD; Sunil A. Sheth, MD

Stroke 2020; 51: 3055-3063

### Stroke Imaging Selection Modality and Endovascular Therapy Outcomes in the Early and Extended Time Windows

Raul G. Nogueira, MD; Diogo C. Haussen, MD; David Liebeskind, MD; Tudor G. Jovin, MD; Rishi Gupta, MD; Ashutov Jadhav, MD, PhD; Ron F. Budzik, MD; Blaise Baxter, MD; Antonin Krajina, MD; Alain Bonafe, MD; Ali Malek, MD; Ana Paula Narvaez, MD; Ryan Shields, MS; Yanchang Zhang, PhD; Patricia Morgan, BSN, RN; Bruno Bartolini, MD; Joey English, MD, PhD; Michael R. Frankel, MD; Erol Veznedaroglu, MD; for the Trevo Registry and DAWN Trial Investigators

Stroke 2021; 52: 491-497

### Noncontrast Computed Tomography e-Stroke Infarct Volume Is Similar to RAPID Computed Tomography Perfusion in Estimating Postreperfusion Infarct Volumes

Mehdi Bouslama, MD; Krishnan Ravindran, MD; George Harston, DPhil; Gabriel M. Rodrigues, MD; Leonardo Pisani, MD; Diogo C. Haussen, MD; Michael R. Frankel, MD; Raul G. Nogueira, MD

Stroke 2021; 52: 634–641

### Novel selection paradigms for endovascular stroke treatment in the extended time window

Mehdi Bouslama, <sup>1,2</sup> Diogo C Haussen, <sup>1,2</sup> Gabriel Rodrigues, <sup>1,2</sup> Clara Barreira, <sup>1,2</sup> Michael Frankel, <sup>1,2</sup> Raul G Nogueira <sup>1,2</sup>

Neurol Neurosurg Psychiatry 2021; 92: 1152-1157

### Noncontrast Computed Tomography vs Computed Tomography Perfusion or Magnetic Resonance Imaging Selection in Late Presentation of Stroke With Large-Vessel Occlusion

Thanh N. Nguyen, MD; Mohamad Abdalkader, MD; Simon Nagel, MD; Muhammad M. Qureshi, MPH; Marc Ribo, MD, PhD; Francois Caparros, MD; Diogo C. Haussen, MD; Mahmoud H. Mohammad, MD; Sunil A. Sheth, MD; Santiago Ortega-Gutierrez, MD, MSc; James E. Siegler, MD; Syed Zaidi, MD; Marta Olive-Gadea, MD; Hilde Henon, MD, PhD; Markus A. Möhlenbruch, MD; Alicia C. Castonguay, PhD; Stefania Nannoni, MD; Johannes Kaesmacher, MD; Ajit S. Puri, MD; Fatih Seker, MD; Mudassir Farooqui, MD, MPH; Sergio Salazar-Marioni, MD; Anna L. Kuhn, MD; Artem Kaliaev, MD; Behzad Farzin, MD; William Boisseau, MD; Hesham E. Masoud, MD; Carlos Ynigo Lopez, MD; Armeena Rana, MD; Samer Abdul Kareem, MD; Anvitha Sathy; Piers Klein; Mohammad W. Kassem, MD, MBA; Peter A. Ringleb, MD; Charlotte Cordonnier, MD, PhD; Jan Gralla, MD; Urs Fischer, MD, MSc; Patrik Michel, MD; Tudor G. Jovin, MD; Jean Raymond, MD; Osama O. Zaidat, MD, MS; Raul G. Nogueira, MD

JAMA Neurol 2022; 79: 22-31

- i centri che sotto-utilizzano le immagini avanzate arruolano e trattano più pazienti senza differenze significative in termini di outcome rispetto ai centri che usano di routine le immagini avanzate = conferma della iperselezione da parte delle tecniche avanzate
- nessuna differenza di outcome fra pazienti trattati con terapia endovascolare selezionati con NCCT o con metodiche avanzate



# NCCT e CTA sono sufficienti per la selezione

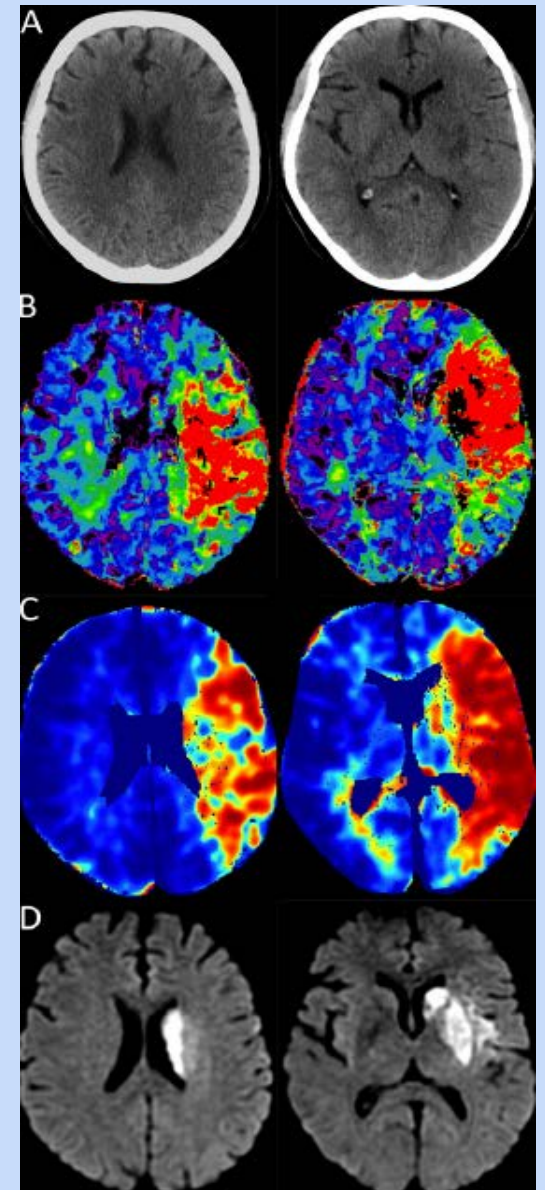
Acute stroke imaging selection for mechanical thrombectomy in the extended time window: is it time to go back to basics? A review of current evidence

Joachim Fladt  <sup>1,2</sup>, Christopher D d'Esterre,<sup>1</sup> Raed Joundi,<sup>1</sup> Connor McDougall,<sup>1</sup> Henrik Gensicke,<sup>2</sup> Philip Barber  <sup>1</sup>

viste le difficoltà della CTP ad identificare il core infartuale forse converrebbe tornare a criteri di selezione semplificati basati su NCCT e CTA



NCCT e/o CTA possono sostituire le immagini avanzate nella selezione dei pazienti candidate al trattamento endovascolare





# la mCTA è sufficiente per la selezione

## Comparison Between Perfusion- and Collateral-Based Triage for Endovascular Thrombectomy in a Late Time Window

Byungjun Kim, MD\*; Cheolkyu Jung, MD\*; Hyo Suk Nam, MD\*; Byung Moon Kim, MD; Young Dae Kim, MD; Ji Hoe Heo, MD; Dong Joon Kim, MD; Jun-Hwee Kim, MD; Kyunghwa Han, PhD; Jae Hyoung Kim, MD; Beom Joon Kim, MD

Stroke 2019; 50: 3465-3470

## Collateral Status at Single-Phase and Multiphase CT Angiography versus CT Perfusion for Outcome Prediction in Anterior Circulation Acute Ischemic Stroke

Zhi Wang, MD\* • Jian Xie, MD\* • Tian-Yu Tang, PhD • Chu-Hui Zeng, BSc • Yi Zhang, MD, PhD • Zhen Zhao, MD, PhD • Deng-Ling Zhao, MD, PhD • Lei-Yu Geng, MD, PhD • Gang Deng, MD, PhD • Zhi-Jun Zhang, MD, PhD • Sheng-Hong Ju, MD, PhD • Gao-Jun Teng, MD, PhD

Radiology 2020; 296: 393-400

## Imaging Triage of Patients with Late-Window (6–24 Hours) Acute Ischemic Stroke: A Comparative Study Using Multiphase CT Angiography versus CT Perfusion

✉ M.A. Almekhlafi, ⚑ W.G. Kunz, ⚒ R.A. McTaggart, ⚓ M.V. Jayaraman, ⚓ M. Najm, ⚓ S.H. Ahn, ⚓ E. Fainardi, ⚓ M. Rubiera, ⚓ A.V. Khaw, ⚓ A. Zini, ⚒ M.D. Hill, ⚒ A.M. Demchuk, ⚓ M. Goyal, and ⚓ B.K. Menon

AJNR Am J Neuroradiol. 2020; 41: 129-133

Stroke imaging prior to thrombectomy in the late window results from a pooled multicentre analysis

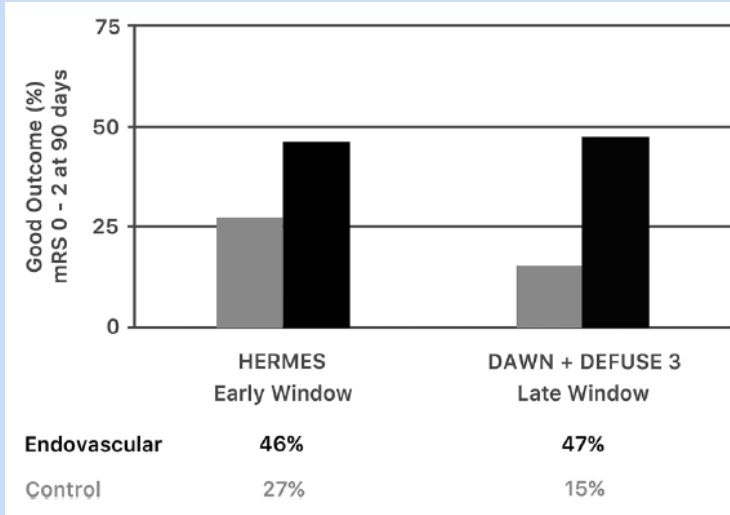
Mohammed A Almekhlafi <sup>✉,1</sup>, John Thornton,<sup>2</sup> Ilaria Casetta,<sup>3</sup> Mayank Goyal,<sup>4</sup> Stefania Nannoni,<sup>5</sup> Darragh Herlihy,<sup>6</sup> Enrico Fainardi,<sup>7</sup> Sarah Power,<sup>8</sup> Valentina Saia,<sup>9</sup> Aidan Hegarty,<sup>6</sup> Giovanni Pracucci,<sup>10</sup> Andrew Demchuk,<sup>4</sup> Salvatore Mangiafico,<sup>11</sup> Karl Boyle,<sup>6</sup> Patrik Michel,<sup>5</sup> Fouzi Bala,<sup>4</sup> Rubina Gill,<sup>4</sup> Andrea Kuczynski,<sup>12</sup> Ayolla Ademola,<sup>4</sup> Michael D Hill,<sup>13</sup> Danilo Toni,<sup>14</sup> Sean Murphy,<sup>15</sup> Beom Joon Kim <sup>✉,16</sup>, Bijoy K Menon,<sup>17</sup> for the Selection Of Late-window Stroke for Thrombectomy by Imaging Collateral Extent (SOLSTICE) Consortium

J Neurol Neurosurg Psychiatry. 2022; Jan 27 [online ahead of print]

outcome è simile in pazienti selezionati per il trattamento endovascolare con la valutazione visiva dei circoli collaterali con angio-TC multifasica (mCTA) o con immagini avanzate (target mismatch secondo DAWN e DEFUSE 3 o CBV < 50% dell'area ischemica totale)



# Le tecniche avanzate servono: il paradosso della finestra tardiva

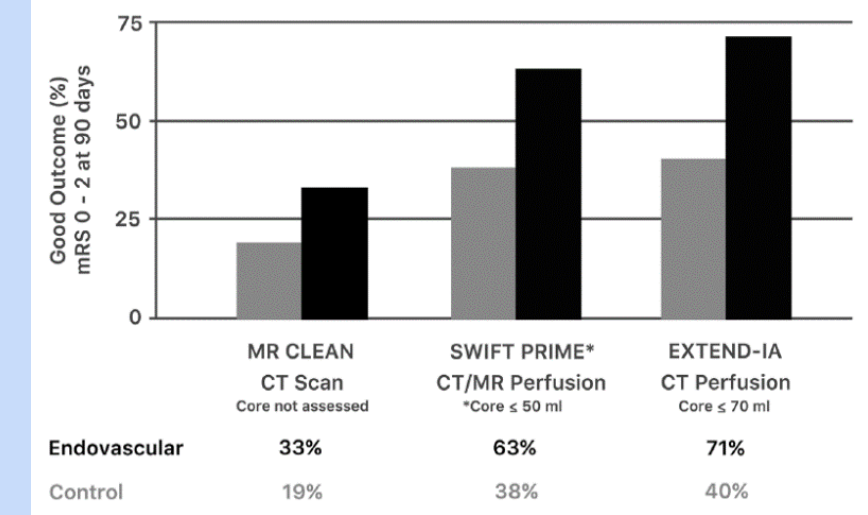


## Comments and Opinions

### Late Window Paradox

Gregory W. Albers, MD

Stroke 2018;49:768-771



- l'effetto sul trattamento è maggiore nella *finestra tardiva* che in quella precoce = finestra tardiva più largo impiego di tecniche avanzate con calcolo automatico del target mismatch
- l'effetto sul trattamento è più grande nella *finestra precoce* quando vengono utilizzate le immagini avanzate con calcolo automatico del target mismatch



# Le tecniche avanzate servono per la selezione

## Advanced Neuroimaging in Stroke Patient Selection for Mechanical Thrombectomy

### A Systematic Review and Meta-Analysis

Georgios Tsivgoulis, MD; Aristeidis H. Katsanos, MD; Peter D. Schellinger, MD; Martin Köhrmann, MD; Valeria Caso, MD; Lina Palaiodimou, MD; Georgios Magoufis, MD; Adam Arthur, MD, MPH; Urs Fischer, MD; Andrei V. Alexandrov, MD

Stroke 2018; 49: 3067-3070

## Optimizing Patient Selection for Endovascular Treatment in Acute Ischemic Stroke (SELECT): A Prospective, Multicenter Cohort Study of Imaging Selection

Amrou Sarraj, MD ,<sup>1</sup> Ameer E. Hassan, DO,<sup>2</sup> James Grotta, MD,<sup>1</sup> Clark Sitton, MD,<sup>3</sup> Gary Cutter, PhD,<sup>4</sup> Chunyan Cai, PhD,<sup>5</sup> Peng R. Chen, MD,<sup>6</sup> Bita Imam, PhD,<sup>1</sup> Deep Pujara, MD ,<sup>1</sup> Ashish Arora, MD,<sup>7</sup> Sujan Reddy, MD,<sup>1</sup> Kaushik Parsha, MD,<sup>1</sup> Roy F. Riascos, MD,<sup>3</sup> Nirav Vora, MD,<sup>8</sup> Michael Abraham, MD,<sup>9</sup> Randall Edgett, MD,<sup>10</sup> Frank Hellinger, MD,<sup>11</sup> Diogo C. Haussen, MD,<sup>12</sup> Spiros Blackburn, MD,<sup>6</sup> Haris Kamal, MD,<sup>1</sup> Andrew D. Barreto, MD,<sup>1</sup> Sheryl Martin-Schild, MD,<sup>13</sup> Maarten Lansberg, MD,<sup>14</sup> Rishi Gupta, MD,<sup>15</sup> Sean Savitz, MD,<sup>1</sup> Gregory W. Albers, MD,<sup>14</sup> and SELECT Investigators

Ann Neurol 2020; 87: 419-433

## Assessment of Optimal Patient Selection for Endovascular Thrombectomy Beyond 6 Hours After Symptom Onset A Pooled Analysis of the AURORA Database

Gregory W. Albers, MD; Maarten G. Lansberg, MD, PhD; Scott Brown, PhD; Ashutosh P. Jadhav, MD, PhD; Diogo C. Haussen, MD; Sheila O. Martins, MD, PhD; Leticia C. Rebello, MD; Andrew M. Demchuk, MD; Mayank Goyal, MD, PhD; Marc Ribo, MD; Aquilla S. Turk, DO; David S. Liebeskind, MD; Jeremy J. Heit, MD, PhD; Michael P. Marks, MD; Tudor G. Jovin, MD; Raul G. Nogueira, MD; for the AURORA Investigators

JAMA Neurol 2021;78: 1064-1071

## Mismatch Profile Influences Outcome After Mechanical Thrombectomy

Jean-Marc Olivot, MD; Jean-François Albucher, MD; Adrien Guenego , MD; Claire Thalamas, MD; Michael Mlynash, MD; Vanessa Rousseau , PhD; Amel Drif, BA; Soren Christensen, PhD; Agnes Sommet, MD; Alain Viguer, MD; Jean Darcourt, MD; Lionel Calvière, MD; Patrice Menegon, MD; Nicolas Raposo, MD, PhD; Anne-Christine Januel , MD; Fabrice Bonneville, MD; Thomas Tourdias , MD; Mikael Mazighi, MD; Igor Sibon, MD; Gregory W. Albers, MD; Christophe Cognard , MD; on behalf of the FRAME Investigators\*

Stroke 2021; 52: 232-240

## Comparison of Computed Tomography Perfusion and Multiphase Computed Tomography Angiogram in Predicting Clinical Outcomes in Endovascular Thrombectomy

Zefeng Tan , MD, PhD; Mark Parsons , MD, PhD; Andrew Bivard, MD, PhD; Gagan Sharma, MD, PhD; Peter Mitchell , MD, PhD; Richard Dowling , MD, PhD; Steven Bush, MD, PhD; Leonid Churilov , MD, PhD; Anding Xu , MD, PhD; Bernard Yan, MD, PhD

Stroke 2022; 53: 2926-2934

le immagini avanzate migliorano la nostra capacità di selezionare i pazienti per il trattamento endovascolare e di raggiungere un buon outcome rispetto alle metodiche convenzionali (NCCT, sCTA e mCTA), indipendentemente dal tempo di esordio e sia nella finestra precoce (<6 ore) che in quella tardiva (6-24 ore)



# Un profilo CTP favorevole

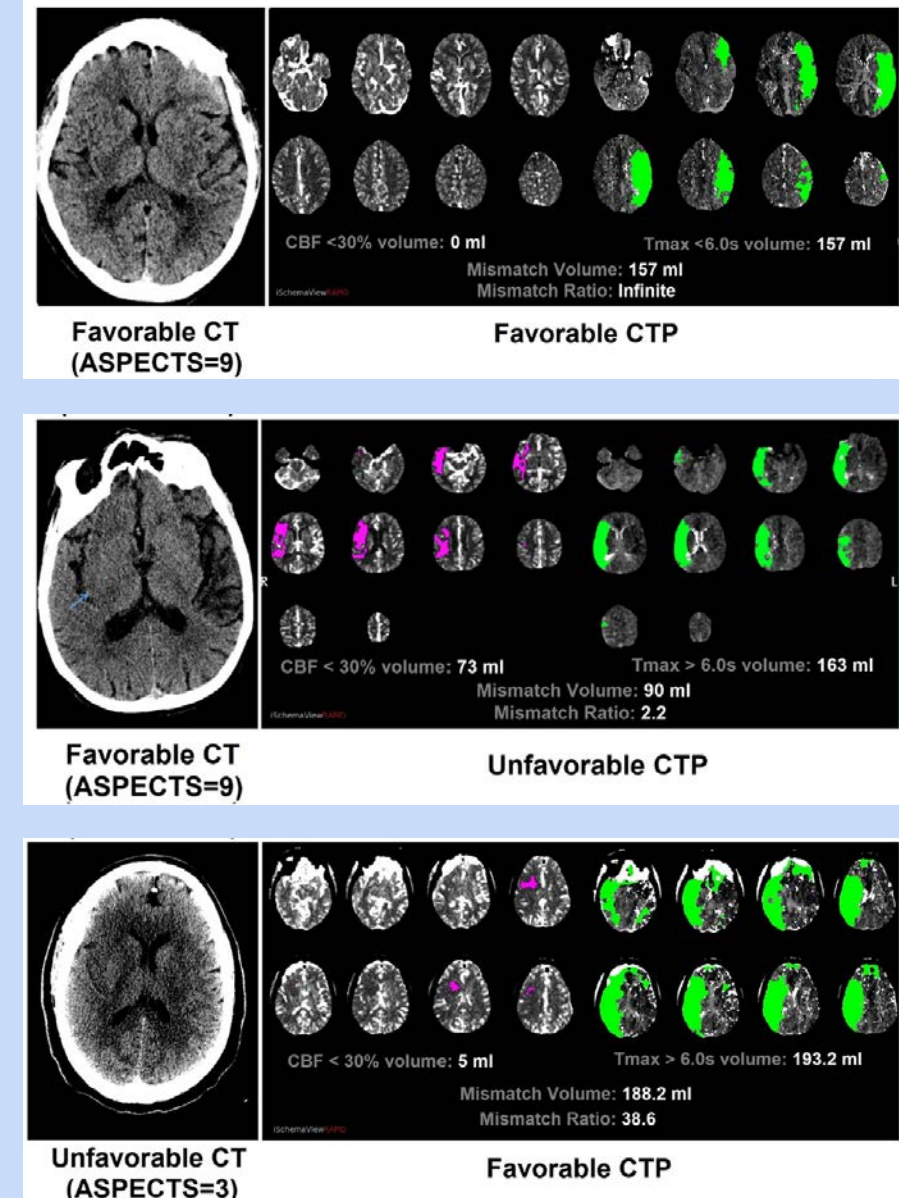
## Optimizing Patient Selection for Endovascular Treatment in Acute Ischemic Stroke (SELECT): A Prospective, Multicenter Cohort Study of Imaging Selection

Amrou Sarraj, MD <sup>①</sup>, Ameer E. Hassan, DO, <sup>②</sup> James Grotta, MD, <sup>①</sup> Clark Sitton, MD, <sup>③</sup> Gary Cutter, PhD, <sup>④</sup> Chunyan Cai, PhD, <sup>⑤</sup> Peng R. Chen, MD, <sup>⑥</sup> Bita Imam, PhD, <sup>①</sup> Deep Pujara, MD <sup>⑦</sup>, Ashish Arora, MD, <sup>⑦</sup> Sujan Reddy, MD, <sup>①</sup> Kaushik Parsha, MD, <sup>①</sup> Roy F. Riascos, MD, <sup>③</sup> Nirav Vora, MD, <sup>⑧</sup> Michael Abraham, MD, <sup>⑨</sup> Randall Edgell, MD, <sup>⑩</sup> Frank Hellinger, MD, <sup>⑪</sup> Diogo C. Haussen, MD, <sup>⑫</sup> Spiros Blackburn, MD, <sup>⑬</sup> Haris Kamal, MD, <sup>⑭</sup> Andrew D. Barreto, MD, <sup>⑮</sup> Sheryl Martin-Schild, MD, <sup>⑯</sup> Maarten Lansberg, MD, <sup>⑯</sup> Rishi Gupta, MD, <sup>⑯</sup> Sean Savitz, MD, <sup>⑯</sup> Gregory W. Albers, MD, <sup>⑯</sup> and SELECT Investigators

Ann Neurol 2020; 87: 419-433

nei pazienti trattati con terapia endovascolare nella finestra precoce (< 6 ore) e in quella tardiva (6-24 ore):

- l'outcome è migliore con profilo favorevole sia NCCT (ASPECTS > 6) che CTP (criteri DEFUSE 3)
- circa il 60% dei pazienti con profilo NCCT sfavorevole (ASPECTS < 6) e profilo CTP favorevole (criteri DEFUSE 3) raggiungono un buon outcome
- pazienti con profilo CTP sfavorevole presentano basse percentuali di buona prognosi sia con un profilo NCCT favorevole che con profilo NCCT sfavorevole





# Un cambio di paradigma: la selezione basata sul tessuto

Neuroradiology (2019) 61:115–117  
<https://doi.org/10.1007/s00234-018-2122-1>

EDITORIAL

Treatment of ischemic stroke beyond 3 hours: is time really brain?

Rüdiger von Kummer<sup>1</sup>

## From “Time is Brain” to “Imaging is Brain”: A Paradigm Shift in the Management of Acute Ischemic Stroke

Josep Puig , Jai Shankar , David Liebeskind , Mikel Terceño, Kambiz Nael , Andrew M Demchuk, Bijoy Menon, Dar Dowlatshahi, Carlos Leiva-Salinas, Max Wintermark , Götz Thomalla, Yolanda Silva, Joaquin Serena, Salvador Pedraza, Marco Essig

J Neuroimaging 2020; 30: 562–571

- queste evidenze suggeriscono l'importanza delle metodiche avanzate nella selezione dei pazienti
- il tempo di esordio non è un criterio sufficiente per escludere i pazienti dal trattamento endovascolare
- passaggio da una concezione temporale ("time is brain") ad una fisiologica ("imaging o tissue is brain") nella selezione dei pazienti candidati alle terapie di ripercusione



# Servono entrambe le tecniche convenzionali e avanzate

Association between time to treatment and clinical outcomes in endovascular thrombectomy beyond 6 hours without advanced imaging selection

Permesh Singh Dhillon <sup>1,2</sup>, Waleed Butt, <sup>3</sup> Anna Podlasek <sup>2</sup>, Norman McConachie,<sup>1</sup> Robert Lenthal,<sup>1</sup> Sujit Nair,<sup>1</sup> Luqman Malik,<sup>1</sup> Pervinder Bhogal,<sup>4</sup> Hegoda Levansri Dilrukshan Makalanda,<sup>4</sup> Oliver Spooner,<sup>5</sup> Kailash Krishnan,<sup>6</sup> Nikola Sprigg,<sup>6,7</sup> Alex Mortimer,<sup>8</sup> Thomas Calvert Booth,<sup>9,10</sup> Kyriakos Lobotesis,<sup>11</sup> Philip White,<sup>12</sup> Martin A James,<sup>13,14,15</sup> Philip Bath,<sup>6,7</sup> Robert A Dineen,<sup>2,16</sup> Timothy J England<sup>7,17,18</sup>

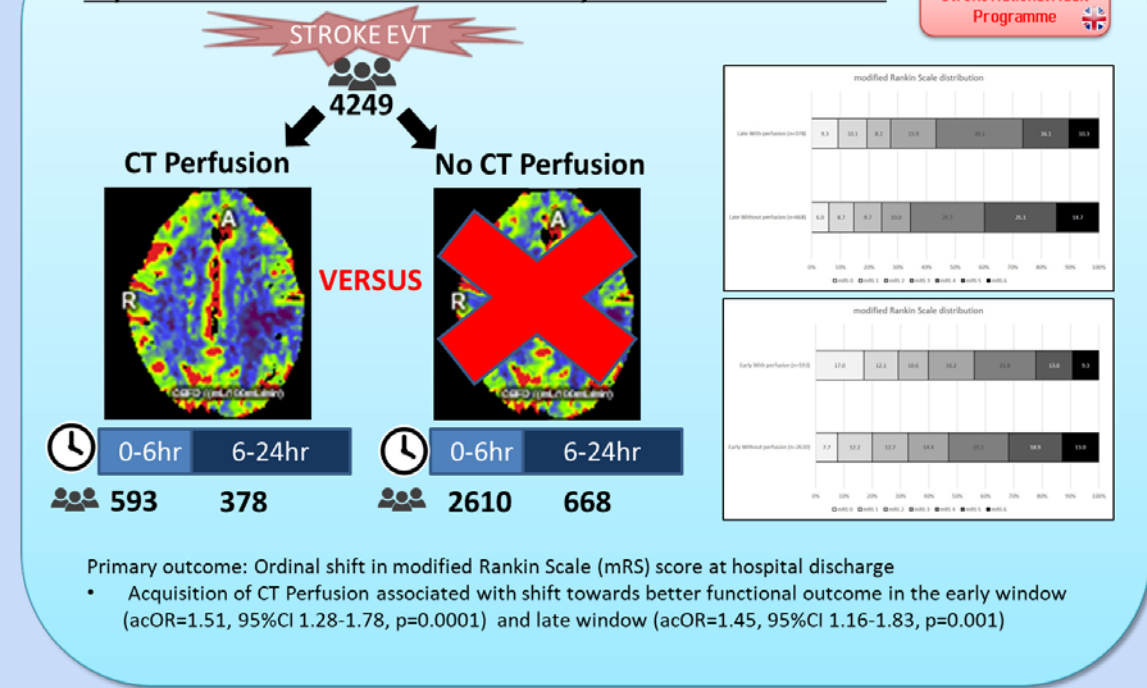
J Neurointerv Surg 2022 Mar 16: online ahead of print

Perfusion Imaging for Endovascular Thrombectomy in Acute Ischemic Stroke Is Associated With Improved Functional Outcomes in the Early and Late Time Windows

Permesh Singh Dhillon , MD; Waleed Butt, MD; Anna Podlasek , MD; Norman McConachie , MD; Robert Lenthal , MD; Sujit Nair, MD; Luqman Malik , MD; Thomas C. Booth , PhD; Pervinder Bhogal, PhD; Hegoda Levansri Dilrukshan Makalanda , MD; Oliver Spooner , MD, MRCP; Alex Mortimer, PhD; Saleh Lamin , MD; Swarupsinh Chavda, MD; Han Seng Chew , MD; Kurдов Nader, MD; Samer Al-Ali, MD; Benjamin Butler , MD; Dilina Rajapakse , MD; Jason P. Appleton, PhD, MRCP; Kailash Krishnan , PhD, MRCP; Nikola Sprigg , PhD; Aubrey Smith , MD; Kyriakos Lobotesis , PhD; Phil White, PhD; Martin A. James , PhD; Philip M. Bath , DSc, FMedSci; Robert A. Dineen , PhD; Timothy J. England , PhD

Stroke 2022;53: 2770-2778

***Perfusion Imaging for Endovascular Thrombectomy is associated with Improved Functional Outcomes in the Early and Late Time Windows***



- le tecniche convenzionali (NCCT e CTA) sono sufficienti per selezionare i pazienti candidati al trattamento endovascolare nella finestra tardiva (6-24 ore)
- le tecniche perfusionali permettono una migliore selezione rispetto a quelle convenzionali = outcome più favorevole nelle finestre sia precoce (<6 ore) che tardiva (6-24 ore)



# Quali criteri di selezione?

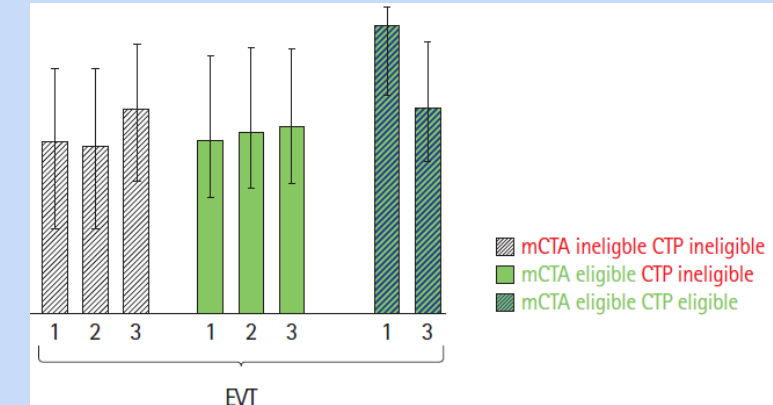
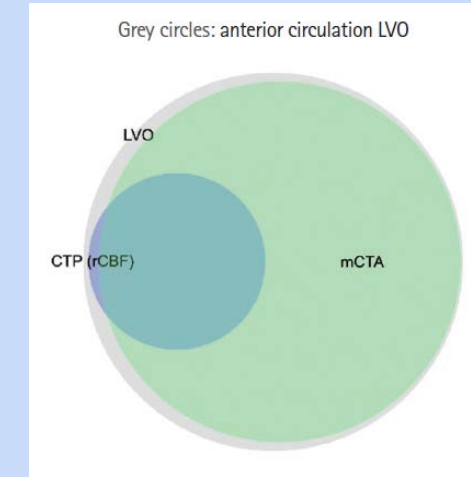
**JoS**  
JOURNAL OF STROKE

Journal of Stroke 2021;23(3):377-387  
<https://doi.org/10.5853/jos.2021.00619>

Original Article

## Impact of Multiphase Computed Tomography Angiography for Endovascular Treatment Decision-Making on Outcomes in Patients with Acute Ischemic Stroke

Johanna M. Ospel,<sup>a,b</sup> Ondrej Volny,<sup>c,d</sup> Wu Qiu,<sup>a</sup> Mohamed Najim,<sup>a</sup> Moiz Hafeez,<sup>a</sup> Sarah Abdalrahman,<sup>a</sup> Enrico Fainardi,<sup>e</sup> Marta Rubiera,<sup>f</sup> Alexander Khaw,<sup>g</sup> Jai J. Shankar,<sup>h</sup> Michael D. Hill,<sup>a,i,j,k,l</sup> Mohammed A. Almekhlafi,<sup>a,i,j</sup> Andrew M. Demchuk,<sup>a,i,j</sup> Mayank Goyal,<sup>a,i,j</sup> Bijoy K. Menon<sup>a,i,j</sup>



- i pazienti eleggibili per il trattamento endovascolare dalla combinazione fra i criteri DEFUSE 3 (piccolo core + ampia penombra) e quelli mCTA (buoni circoli collaterali) raggiungono una prognosi favorevole nel 87% dei casi = utilità dell'integrazione fra diverse tecniche
- la selezione con i criteri mCTA rende eleggibili per il trattamento endovascolare un numero superiore di pazienti (91%) rispetto a quella (22%) con i criteri DEFUSE 3 ma con una più bassa percentuale di prognosi favorevole (57%) = le tecniche avanzate iperselezionano ma con un maggiore effetto sul trattamento
- una discreta percentuale di pazienti trattati con terapia endovascolare non considerati eleggibili secondo i criteri DEFUSE 3 e mCTA può raggiungere un buon outcome (62%) = i nostri criteri di selezione sono attualmente molto limitati



# Un nuovo CTP target mismatch

## $T_{max}$ Volumes Predict Final Infarct Size and Functional Outcome in Ischemic Stroke Patients Receiving Endovascular Treatment

Enrico Fainardi, MD, PhD <sup>1</sup>; Giorgio Busto, MD,<sup>2</sup> Andrea Rosi, MD,<sup>3</sup> Elisa Scola, MD,<sup>2</sup> Ilaria Casetta, MD,<sup>4</sup> Andrea Bernardoni, MD,<sup>5</sup> Andrea Saletti, MD,<sup>5</sup> Francesco Arba, MD,<sup>6</sup> Patrizia Nencini, MD,<sup>6</sup> Nicola Limbucci, MD,<sup>7</sup> Salvatore Mangiafico, MD,<sup>8</sup> Andrew Demchuk, MD,<sup>9,10,11</sup> Mohammed A Almekhlafi, MD, MSc,<sup>9,10,11</sup> Mayank Goyal, MD,<sup>9,10,11</sup> Ting Y. Lee, PhD,<sup>12</sup> Bijoy K. Menon, MD, MSc,<sup>9,10,11</sup> and Andrea Morotti, MD <sup>13</sup>

Ann Neurol 2022; 91: 878-888

## Time-Dependent Computed Tomographic Perfusion Thresholds for Patients With Acute Ischemic Stroke

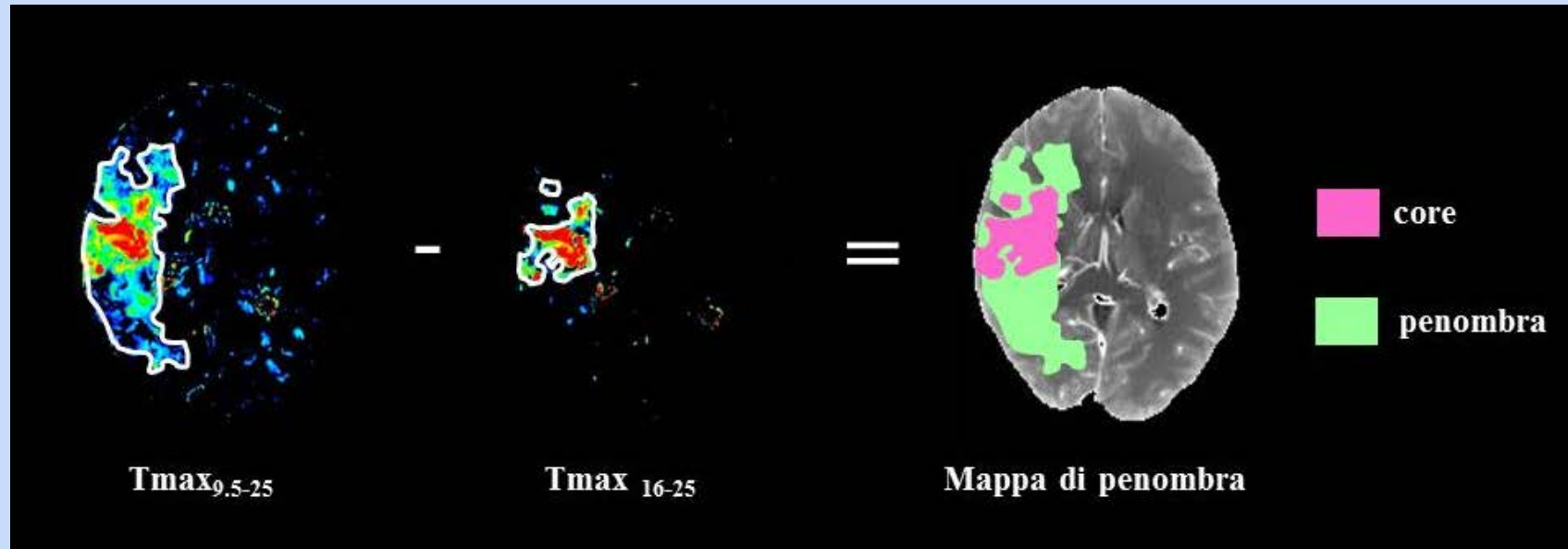
Christopher D. d'Esterre, PhD; Mari E. Boesen, MSc; Seong Hwan Ahn, MD; Pooneh Pordeli, PhD; Mohamed Najm, BSc; Priyanka Minhas, MD; Paniz Davari, MSc; Enrico Fainardi, MD; Marta Rubiera, MD; Alexander V. Khaw, MD; Andrea Zini, MD; Richard Frayne, PhD; Michael D. Hill, MD, MSc; Andrew M. Demchuk, MD; Tolulope T. Sajobi, PhD; Nils D. Forkert, PhD; Mayank Goyal, MD; Ting Y. Lee, PhD; Bijoy K. Menon, MD, MSc

Stroke 2015; 46: 3390-3397

calcolato automaticamente sulla base del mismatch  $T_{max}$  -  $T_{max}$  precedentemente descritto



# Mismatch CTP Tmax - Tmax



- ipoperfusione totale (core + penombra) = estensione della lesione nella mappa Tmax con valore soglia > 9.5 sec
- core infartuale = dimensioni della lesione nella mappa di Tmax con valore soglia > 16 sec
- penombra ischemica = volume lesione  $T_{max} > 9.5$  sec - volume lesione  $T_{max} > 16$  sec



# Mismatch CTP Tmax - Tmax e outcome

TABLE 5. Multivariable Predictors of Final Infarct Volume

	B (SE)	p
<b>MODEL 1</b>		
Admission NIHSS	0.189 (0.004)	<0.001
Time from NCCT to DSA end, minutes	0.077 (0.000)	0.017
Collateral score	-0.090 (0.027)	0.012
mTICI 2b/3	-0.169 (0.049)	<0.001
T <sub>max</sub> > 9.5 seconds volume, ml	0.544 (0.000)	<0.001
<b>MODEL 2</b>		
Admission NIHSS	0.203 (0.081)	<0.001
Time from NCCT to DSA end, minutes	0.075 (0.000)	0.017
Collateral score	-0.146 (0.048)	<0.001
mTICI 2b/3	0.596 (0.001)	<0.001
T <sub>max</sub> > 16 seconds volume, ml	0.596 (0.001)	<0.001
<b>MODEL 3</b>		
Admission NIHSS	0.282 (0.004)	<0.001
Time from NCCT to DSA end, minutes	0.099 (0.000)	0.007
Collateral score	-0.199 (0.030)	<0.001
mTICI 2b/3	-0.203 (0.056)	<0.001
T <sub>max</sub> mismatch volume, ml	0.333 (0.001)	<0.001

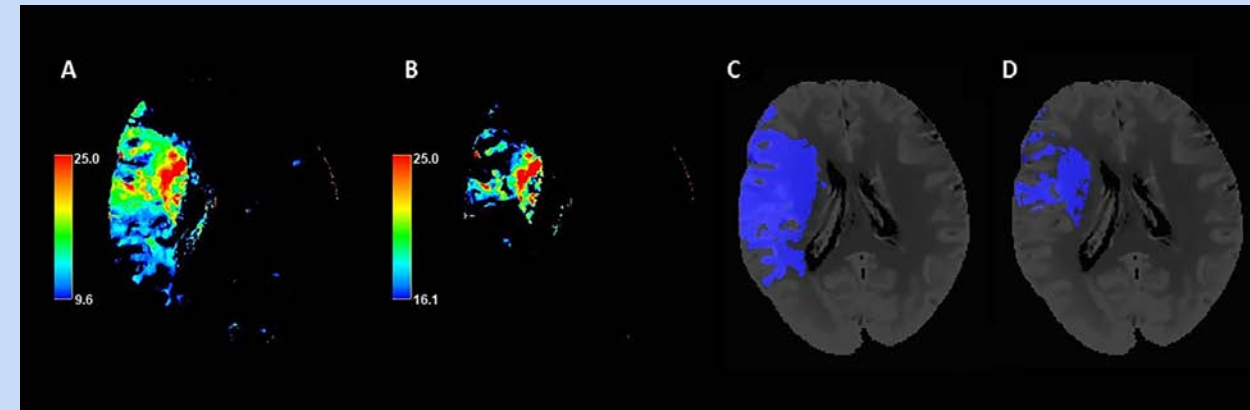


TABLE 2. Multivariable Predictors of Good Functional Outcome

	OR (95% CI)	p
<b>MODEL 1</b>		
Age, yr	0.96 (0.92–1.01)	0.085
Admission NIHSS	0.84 (0.78–0.91)	<0.001
Collateral score	9.74 (4.90–19.34)	<0.001
mTICI score	5.03 (3.17–7.98)	<0.001
T <sub>max</sub> > 9.5 seconds volume, ml	0.98 (0.97–0.99)	<0.001
<b>MODEL 2</b>		
Admission NIHSS	0.83 (0.76–0.90)	<0.001
Collateral score	7.29 (3.76–14.13)	<0.001
mTICI score	4.76 (3.06–7.42)	<0.001
T <sub>max</sub> > 16 seconds volume, ml	0.96 (0.95–0.97)	<0.001
<b>MODEL 3</b>		
Admission NIHSS	0.82 (0.76–0.88)	<0.001
Collateral score	11.28 (5.91–21.54)	<0.001
mTICI score	4.53 (2.97–6.92)	<0.001
T <sub>max</sub> mismatch volume, ml	0.98 (0.97–0.99)	<0.001

elevato valore predittivo per l'outcome radiologico e clinico in pazienti sottoposti a trattamento endovascolare entro 24 ore dall'esordio



# Tmax target mismatch

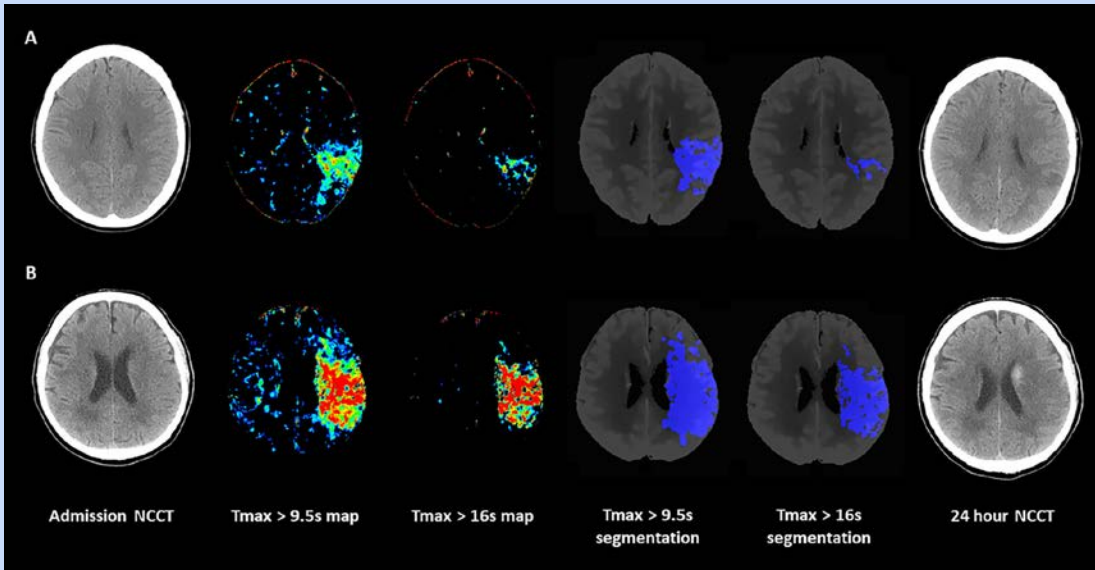


TABLE 3. Test Characteristics of  $T_{\max}$  Volumes and  $T_{\max}$  Mismatch Ratio

	Sensitivity (95% CI)	Specificity (95% CI)	PPV (95% CI)	NPV (95% CI)
$T_{\max} > 9.5$ seconds volume $\leq 111.6$ ml	0.76 (0.70–0.81)	0.82 (0.74–0.88)	0.89 (0.84–0.92)	0.64 (0.59–0.69)
$T_{\max} > 16$ seconds volume $\leq 67.0$ ml	0.91 (0.87–0.94)	0.73 (0.64–0.80)	0.86 (0.83–0.89)	0.81 (0.74–0.87)
$T_{\max}$ mismatch volume $\leq 58.3$ ml	0.63 (0.57–0.69)	0.70 (0.61–0.77)	0.80 (0.75–0.84)	0.50 (0.45–0.55)
$T_{\max}$ mismatch ratio $> 2.5$	0.70 (0.64–0.76)	0.79 (0.71–0.85)	0.86 (0.82–0.90)	0.58 (0.53–0.63)

CI = confidence interval; NPV = negative predictive value; PPV = positive predictive value;  $T_{\max}$  = time to maximum concentration. Outcome of interest: modified Rankin Scale 0 to 2 at 90 days.

- volume ipoperfusione totale  $\leq 111.6$  mL
- volume core  $\leq 67.0$  mL
- volume penombra  $\leq 58.3$  mL
- mismatch ratio  $> 2.5$



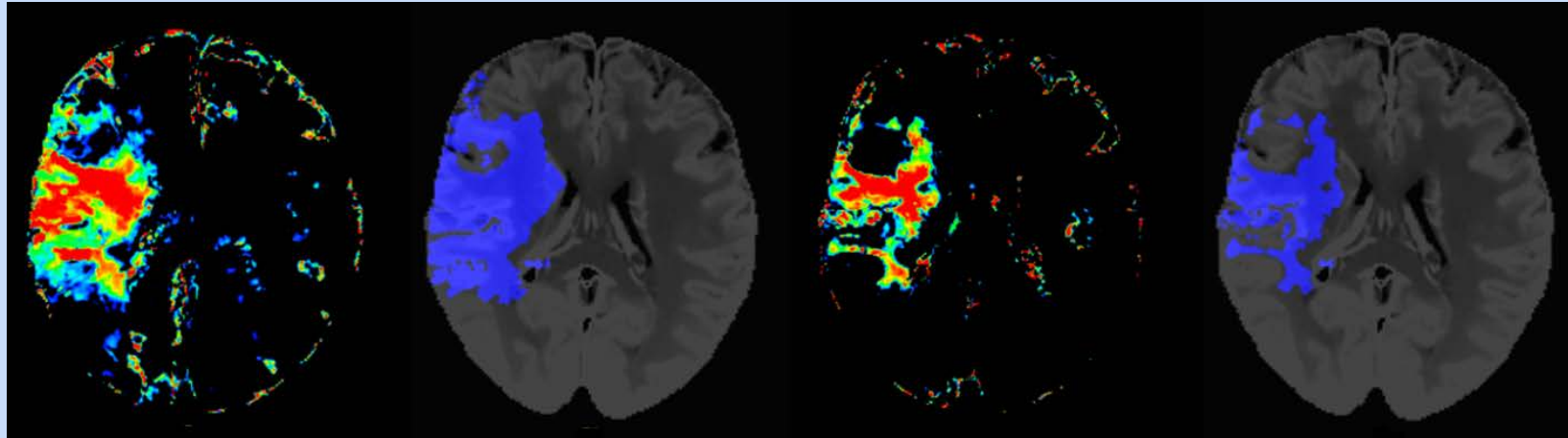
criteri di selezione



trattamento endovascolare  
entro 24 ore dall'esordio  
(finestra precoce < 6 ore)  
(finestra tardiva 6-24 ore)



## Ulteriori studi

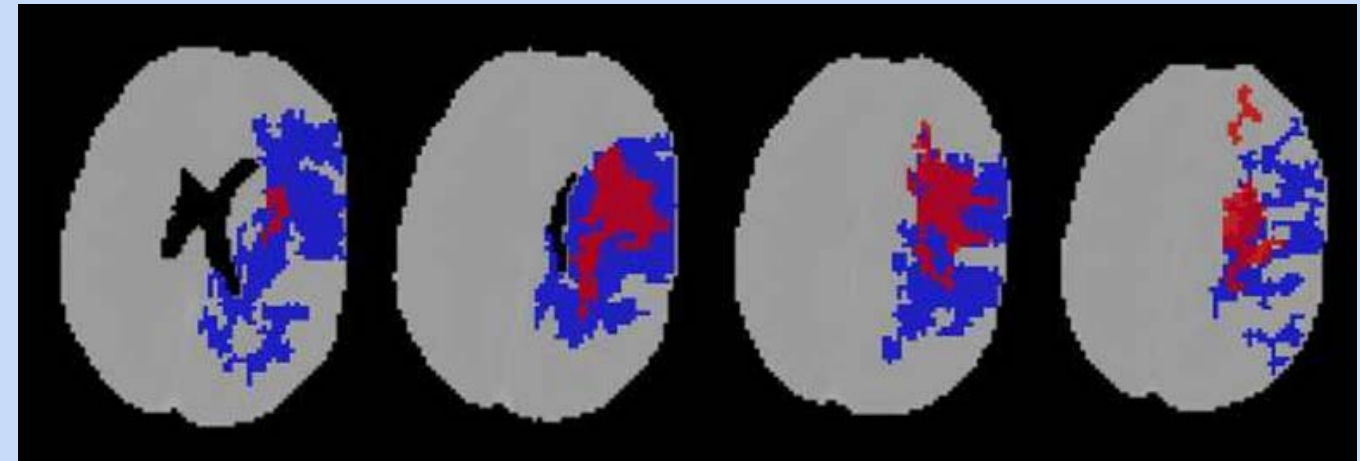


Tmax > 9.5 sec - Tmax > 16 sec

confermare la capacità dei parametri del Tmax target mismatch nella selezione dei pazienti candidati alle terapie di riperfusione



non inferiorità rispetto ai criteri basati sul target mismatch Tmax-rCBF



Tmax > 6 sec - rCBF < 30%



# Sviluppi futuri

## Automated Prediction of Ischemic Brain Tissue Fate from Multiphase Computed Tomographic Angiography in Patients with Acute Ischemic Stroke Using Machine Learning

Wu Qiu,<sup>a,b</sup> Hulin Kuang,<sup>a</sup> Johanna M. Ospel,<sup>a,b,c</sup> Michael D. Hill,<sup>a,b,d</sup> Andrew M. Demchuk,<sup>a,b,d</sup> Mayank Goyal,<sup>a,b,d</sup> Bijoy K. Menon<sup>a,b,d</sup>

<sup>a</sup>Calgary Stroke Program, Department of Clinical Neurosciences, University of Calgary, Calgary, AB, Canada

<sup>b</sup>Department of Radiology, University of Calgary, Calgary, AB, Canada

<sup>c</sup>Division of Neuroradiology, Clinic of Radiology and Nuclear Medicine, University Hospital Basel, University of Basel, Basel, Switzerland

<sup>d</sup>Hotchkiss Brain Institute, University of Calgary, Calgary, AB, Canada

J Stroke 2021; 23: 234-243

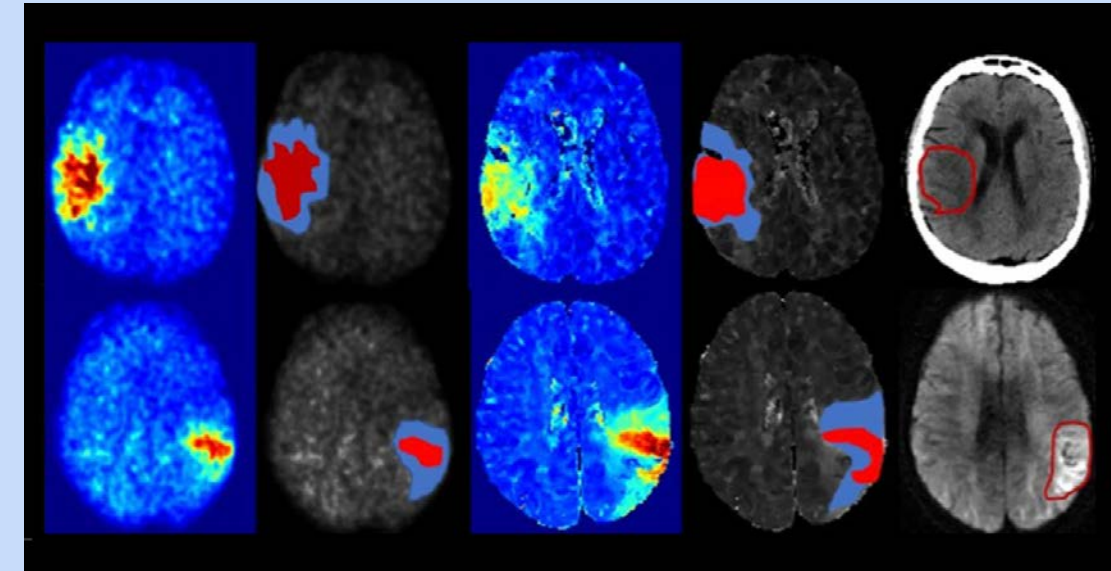
Neuroradiology (2022) 64:887–896  
<https://doi.org/10.1007/s00234-021-02830-8>

DIAGNOSTIC NEURORADIOLOGY



Multiphase CTA-derived tissue maps aid in detection of medium vessel occlusions

Rosalie V. McDonough<sup>1,2</sup> · Wu Qiu<sup>1,3</sup> · Johanna M. Ospel<sup>4</sup> · Bijoy K. Menon<sup>1,3</sup> · Petra Cimflova<sup>3,5</sup> · Mayank Goyal<sup>1,3</sup>



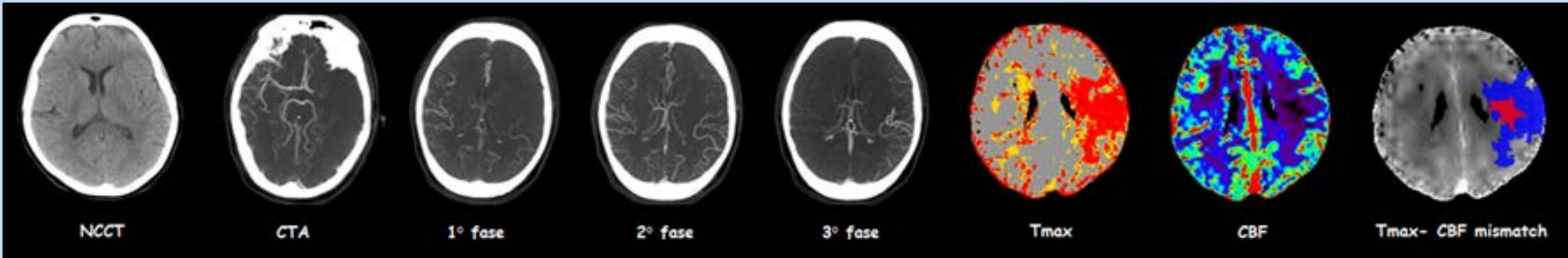
Delay maps

Tmax maps

potrebbe essere utile lo sviluppo di software automatici che generano mappe CTP derivate dalla mCTA (mappe di ritardo simili al Tmax)



# Messaggi da portare a casa



- i criteri radiologici per la selezione dei pazienti con ictus ischemico acuto candidati alle terapie di ripercuzione nella finestra precoce e nella finestra tardiva hanno dei limiti ma vanno applicati perché garantiscono una più alta probabilità di outcome favorevole
- le tecniche avanzate sono utili per selezionare i pazienti candidati per le terapie di ripercuzione nella finestra tardiva ma potrebbero essere anche impiegate per la selezione nella finestra precoce nonostante la loro relativa accuratezza
- i criteri di selezione basati sulla combinazione di immagini avanzate CTP e mCTA potrebbero essere superiori a quelli di CTP o di mCTA e/o NCCT utilizzate singolarmente nella selezione dei pazienti per le terapie di ripercuzione



# Grazie per l'attenzione



New York, Stati Uniti 2022